

Research Article

Study of Petrography and petrogenesis of Monavvar area Spessartite dykes (East Azerbaijan Province)

Mohsen Moayyed ¹, Mahdy Ghaderi ², Zahra Gharechahai ³, Jamshid Ahmadian ⁴

¹ Professor, Department of Earth Sciences, Faculty of Natural Sciences, University of Tabriz, Tabriz, Iran, moayyed@tabrizu.ac.ir

² Ph.D., Department of Earth Sciences, Faculty of Natural Sciences, University of Tabriz, Tabriz, Iran, maghgeo78@gmail.com

³ Ph.D., Department of Earth Sciences, Faculty of Natural Sciences, University of Tabriz, Tabriz, Iran, zgharechahi@gmail.com

⁴ Assistant Professor, Department of Earth Sciences, Faculty of Fundamental Sciences, Payam-e-Nour University of Isfahan, Isfahan, Iran, jamahmadian@gmail.com

ARTICLE INFO

Received: 13 September 2021

Accepted: 18 March 2022

Keywords

Spessartite
Lamprophyre
Post collisional arc
Monavvar



 [10.22108/ijp.2022.130449.1252](https://doi.org/10.22108/ijp.2022.130449.1252)
 [20.1001.1.22285210.1402.14.1.2.7](https://doi.org/10.22108/ijp.2022.130449.1252)

EXTENDED ABSTRACT**Introduction**

Many lamprophyric dykes' outcrops are found in Azerbaijan (in the northwest of Iran). These dykes which were the subject of many studies are including camptonite dykes in Misho Mountain, kersantite dykes of Goye-Poshti Mountain of Maragheh, camptonite and sannaite dykes in Horand, minette dykes of Varzeghan, minette dykes of Marand, minette dykes of Khoy, and minette dykes of Saray volcano.

For the first time, Amel (1994) reported the occurrence of lamprophyre in the Monavvar region. According to him, this lamprophyre is spessartite and has Calc-alkaline affinities. In this study, we performed a detailed petrographic study of this lamprophyre. Besides, by using clinopyroxene mineral chemistry and whole rock chemistry, we try to investigate the petrogenesis of these lamprophyres from different aspects.

General geology

Monavvar region is located in the east Azerbaijan province of Iran. Monavvar region is a part of the Alborz-Azarbaijan zone. Field

observations show two spessartite dykes intruded in the andesitic lavas of the studied region. The age of andesitic lava and spessartite dykes is Plio-Quaternary because the andesitic

 Corresponding Author

To cite this article: Moayyed, M., Ghaderi, M., Gharechahai, Z., and Ahmadian, J. (2023) Study of Petrography and petrogenesis of Monavvar area Spessartite dykes (East Azarbaijan Province). *Petrological Journal*, 14(1), 27-52.

lava intruded in Pliocene pyroclastic lava. Spessartite has a blackish-brown color in the hand specimens.

Petrography

The main petrographic texture of these lamprophyres is the Porphyry texture. The major minerals are plagioclase microliths (10-15 volume %), orthoclase (5-10 volume %), hornblende phenocrysts with burnt rim (40-50 volume %), clinopyroxene (>20 volume %), and biotite (10-15 volume %). The accessory minerals include zircon, sphene, and apatite.

The plagioclase has higher content than orthoclase and both of these minerals could be seen only as microlith. Regarding the nomenclature scheme of [Le Maître \(2002\)](#), these features indicate that these lamprophyres are spessartite.

Mineral Chemistry

The mineral chemistry of amphibole shows a magnesio-hastingsite composition. However, biotite is phlogopite-eastonite and feldspars are orthoclase and oligoclase in composition.

Discussion

Mineral chemistry of clinopyroxene studies

The clinopyroxenes are in the field of Quad in the Q-J diagram and diopside in the En-Fs-Wo diagram.

According to the $\text{Al}^{\text{VI}}+2\text{Ti}+\text{Cr}-\text{Al}^{\text{IV}}+\text{Na}$ diagram for clinopyroxenes, Monavvar spessartite has occurred in almost the stable and low oxygen fugacity status. Based on [Soesoo \(1997\)](#), the clinopyroxenes were crystallized under 1100-1200 °C and 2-6 kbar. The chemical composition of clinopyroxenes indicates subduction-related volcanic arcs and within-plate tholeiitic environments.

Whole rock geochemistry of Monavvar spessartite

Most lamprophyre samples are plotted in the trachybasalt field on the total alkali ($\text{K}_2\text{O}+\text{Na}_2\text{O}$)

versus silica (Si_2O) classification diagram. They show alkali basalt composition on the $\text{Zr}/\text{Ti}_2\text{O}-\text{Nb}/\text{Y}$ plot. $\text{K}_2\text{O}-\text{Si}_2\text{O}$ diagram classified them as calc-alkaline lamprophyres.

REE Geochemistry

In the spider diagram of studied samples, Nb and Ti show a distinctive negative anomaly, and U, La, K, Th, and Ba show a positive anomaly. HFSEs depletion and LILEs enrichment of samples are characteristics of shoshonitic and calc-alkaline magma. Negative Nb and Ti anomalies could be a result of Ti-bearing mineral segregation or high oxygen fugacity. LILEs enrichment could indicate that aqueous fluid is present during magma-forming processes or crustal contamination during magma evolution. Y depletion could happen as a result of amphibole segregation.

All samples show highly fractionated steep REE patterns which means a distinctive enrichment of LREEs relative to HREEs. LREEs enrichment occurs as a result of small degrees of magma partial melting. However, this feature is a character of shoshonitic and calc-alkaline magma. The REE pattern of Monavvar spessartite does not show an Eu anomaly. In the basic rocks, concurrent crystallization of amphibole and plagioclase caused a lack of Eu anomaly.

Tectonic setting of Monavvar Spessartites

Based on the Zr-Y diagram and Nb-Zr-Ce/ P_2O_5 diagram, Monavvar spessartites are ascribed to an arc-related tectonic setting.

Petrogenesis of Monavvar Spessartites

Based on the whole rock composition of Monavvar spessartite, Ni=68-92 ppm, Co=1-23 ppm, Cr=59-125 ppm, and Mg#=25-32%. These values mean the lamprophyres could not be considered as the primary magma, but probably they are very close to the primary magma composition. On the other hand, on Dy/Yb-La/Yb diagram, the samples are scattered in the field of garnet-bearing mantle zone. Similarly, the La/Yb-La diagram indicates the garnet presence in the source

peridotite, in addition to the 5-15 % of mantle peridotite partial melting for producing Monavvar spessartite melt.

Geodynamics of Monavvar region

According to Rock (1991), petrographical, mineralogical, and geochemical investigations revealed M6 and M7 magmas for the Monavvar spessartites. M6 was produced by contamination of primary magma by mantle elements and M7 was produced by crustal contamination of primary magma. By

considering this, the function of strike-slip dextral faults in Azerbaijan (northwest of Iran) could be responsible for Monavvar spessartites formation. Due to the mentioned faults function, transcurrent basins are made across the faults. Transcurrent basins caused low partial melting degrees of the metasomatized lithospheric mantle and produced alkaline basic magma. Contamination of this magma in different depths could form spessartite magma.

سنگ‌نگاری و سنگ‌زایی دایک‌های اسپسارتیتی منطقه منور (استان آذربایجان شرقی)

محسن مؤید^۱ , مهدی قادری^۲, زهرا قره‌چاهی^۳, جمشید احمدیان^۴^۱ استاد، گروه علوم زمین، دانشکده علوم طبیعی، دانشگاه تبریز، تبریز، ایران, moayyed@tabrizu.ac.ir^۲ دکتری، گروه علوم زمین، دانشکده علوم طبیعی، دانشگاه تبریز، تبریز، ایران, maghgeo78@gmail.com^۳ دکتری، گروه علوم زمین، دانشکده علوم طبیعی، دانشگاه تبریز، تبریز، ایران, zgharechahi@gmail.com^۴ استادیار، گروه زمین‌شناسی، دانشکده علوم پایه، دانشگاه پیام نور اصفهان، اصفهان، ایران, jamahmadian@gmail.com**چکیده**

در شمال روستای منور، ۳۵ کیلومتری باختر تبریز، دو دایک اسپسارتیتی در میان آندزیت‌ها و سنگ‌های آذرآواری با سن پلیوکواترنری تزریق شده‌اند. بافت غالب این سنگ‌ها میکرولیتیک پورفیری است و بیشتر از فنوکریست‌های آمفیبول، کلینوپیروکسن و بیوتیت در زمینه‌ای از میکروفونکریست‌های بلازیوکلاز و آلکالی‌فلدسبار تشکیل شده‌اند. در این اسپسارتیت‌ها، بیوتیت ترکیب فلوگوپیت-استونیتی دارد و آمفیبول این سنگ‌ها ترکیب مگنزیوحاستینگسیتی نشان می‌دهد. فلدسبار این سنگ‌ها نیز ترکیب آنورتوکلاز تا الیکوکلاز دارد. ترکیب کلینوپیروکسن‌های اسپسارتیت‌های منور دیوپسید است و در فشار ۴ تا ۶ کیلوبار و دمای ۱۱۰۰ تا ۱۲۰۰ درجه سانتیگراد پدید آمده است. برپایه بررسی‌های زمین‌شیمیایی دایک‌های اسپسارتیتی منور در گروه لامپروفیرهای کالک‌آلکالن رده‌بندی می‌شوند و ترکیب آلکالی‌باختی دارند. الگوی نمودار عنصرهای خاکی کمیاب این دایک‌ها روند نزولی دارد و عنصرهای خاکی کمیاب سبک غنی‌شدگی چشمگیری نسبت به عنصرهای خاکی کمیاب سنگین نشان می‌دهند. این ویژگی‌ها گویای پیدایش ماقمای اسپسارتیت‌ها در پی درجه کم ذوب‌بخشی گوشته است. ماقمای مادر اسپسارتیت‌های منور از ذوب‌بخشی ۵ تا ۱۵ درصدی گوشته‌ای گارنت لرزولیتی پدید آمده که دچار آلایش پوسته‌ای شده است. محیط پیدایش آنها نیز کمان پسابرخوردی حاشیه‌فعال قاره‌ای بوده است.

اطلاعات مقاله

تاریخ دریافت ۱۴۰۰/۰۶/۲۲

تاریخ پذیرش ۱۴۰۰/۱۲/۲۷

کلید واژه‌ها

اسپسارتیت

لامپروفیر

کمان پسابرخوردی

منور

20.1001.1.22285210.1402.14.1.2.7 10.22108/ijp.2022.130449.1252 **مقدمه**

می‌شوند. لامپروفیرها لزوماً بافت پورفیریک دارند و حضور فنوکریست‌های درشت بیوتیت یا آمفیبول در آنها ضروری است. فلدسبارها و فلدسپات‌توبیدها در صورت حضور، زمینهٔ

در حالت کلی، لامپروفیرها سنگ‌های آذرین بیرونی و یا نیمه‌عمیقی هستند که بیشتر به صورت دایک دیده

نویسنده مسئول

استناد به این مقاله: مؤید، م.، قادری، م.، قره‌چاهی، ز.، احمدیان، ج. (۱۴۰۲). سنگ‌نگاری و سنگ‌زایی دایک‌های اسپسارتیتی منطقه منور (استان آذربایجان شرقی). پترولوجی، ۱۴(۱)، ۵۲-۲۷.



(2016)؛ رستای هوای هوراند با ترکیب کمپتونیتی و سانایتی، آلکالن و جوانتر از کرتاسه پسین (Ravankhah et al., 2015)؛ کانسار مس هفت‌چشمه ورزقان با ترکیب مینت، کالک‌آلکالن و جوانتر از الیگو-میوسن (Gharehchahi et al., 2017)؛ قخلار مرند با ترکیب مینت، کالک‌آلکالن و پلیوکواترنری (Moazzen et al., 2003)؛ شریف‌آباد خوی با ترکیب مینت، کالک‌آلکالن (Moayyed and Amel, 2002)؛ هوای هوراند با ترکیب کمپتونیتی، آلکالن و جوانتر از کرتاسه پسین (Shirdel et al., 2010)؛ جزیره اسلامی با ترکیب مینت، کالک‌آلکالن (Moayyed et al., 2008)؛ لامپروفیرهای آمفیبول و بیوتیت‌دار شمال باختری ایران، آلکالن و کالک‌آلکالن (Aghazadeh and Badrzadeh, 2015).

نخستین بار عامل (Amel, 2007) به حضور لامپروفیر در منطقه منور اشاره کرده است. به باور عامل (Amel, 2007)، دایک‌های لامپروفیری منور از سری کالک‌آلکالن هستند و نام آنها اسپسارتیت است. همچنین، لامپروفیرهای منور به کمان ماجمایی پسابرخوردی حاشیه فعال قاره‌ای تعلق دارند و ماجمایی مادر این لامپروفیرها از گوشته سست‌کره‌ای (گارنت لرزولیت) خاستگاه گرفته‌اند.

Fazeli Hagh et al., (2017) سنگ‌های آتش‌شانی رستای منور از گوشته‌ای گارنت لرزولیتی خاستگاه گرفته‌اند.

در بررسی‌های پیشین، تمرکز بر بررسی اسپسارتیت‌های منور نبوده است و در بررسی‌های کلی منطقه منور به این سنگ‌ها اشاره شده است. در این نوشتار تمرکز بر بررسی اسپسارتیت‌هاست. از این‌رو، افزون بر بررسی دقیق سنگ‌نگاری لامپروفیرهای اسپسارتیتی منطقه منور و انجام بررسی‌های شیمی کانی‌ها و زمین‌شیمی دایک‌ها، جنبه‌های گوتاگون پیدایش این لامپروفیرها (مانند دما و فشار پیدایش آن، ویژگی‌های خاستگاه گوشته‌ای ماجمایی سازنده آنها) و بهویژه ویژگی‌های ژئodynامیکی منطقه منور در ارتباط با پیدایش اسپسارتیت‌ها دقیق‌تر بررسی شده است.

زمین‌شناسی منطقه

برپایه شکل ۱، منطقه منور (۳۵ کیلومتری باختر

سنگ رامی‌سازند (Rock, 1991) بافت آنها معمولاً ناهم‌بعد است؛ به گونه‌ای که بلورهای درشت کانی‌های فرومیزین در زمینه دانه‌ریز یا شیشه‌ای هستند (Best, 2003; Gill, 2010) برپایه کانی‌شناسی لامپروفیرها، سه گروه لامپروفیر شناسایی شده‌اند:

الف) لامپروفیرهای کالک‌آلکالن که با فنوکریستهای بیوتیت یا هورنبلند همراه با آکالی‌فلدسپار یا پلازیوکلаз (بدون بلورهای فلدسپاتویید) در زمینه شناخته می‌شوند. این لامپروفیرها در کمرندهای کوهزایی با گرانیتوییدها همراهی می‌شوند؛

ب) لامپروفیرهای آلکالن که با فنوکریستهای کرسوتیت یا اوژیت در زمینه‌ای از پتاسیم‌فلدسپار و فلدسپاتویید شناخته می‌شوند. این لامپروفیرها همراه با مجموعه‌های آذرین سینیت-گابرو و سنگ‌های آلکالن-کربناتیت در دره‌های کافنی قاره‌ای رخ می‌دهند؛

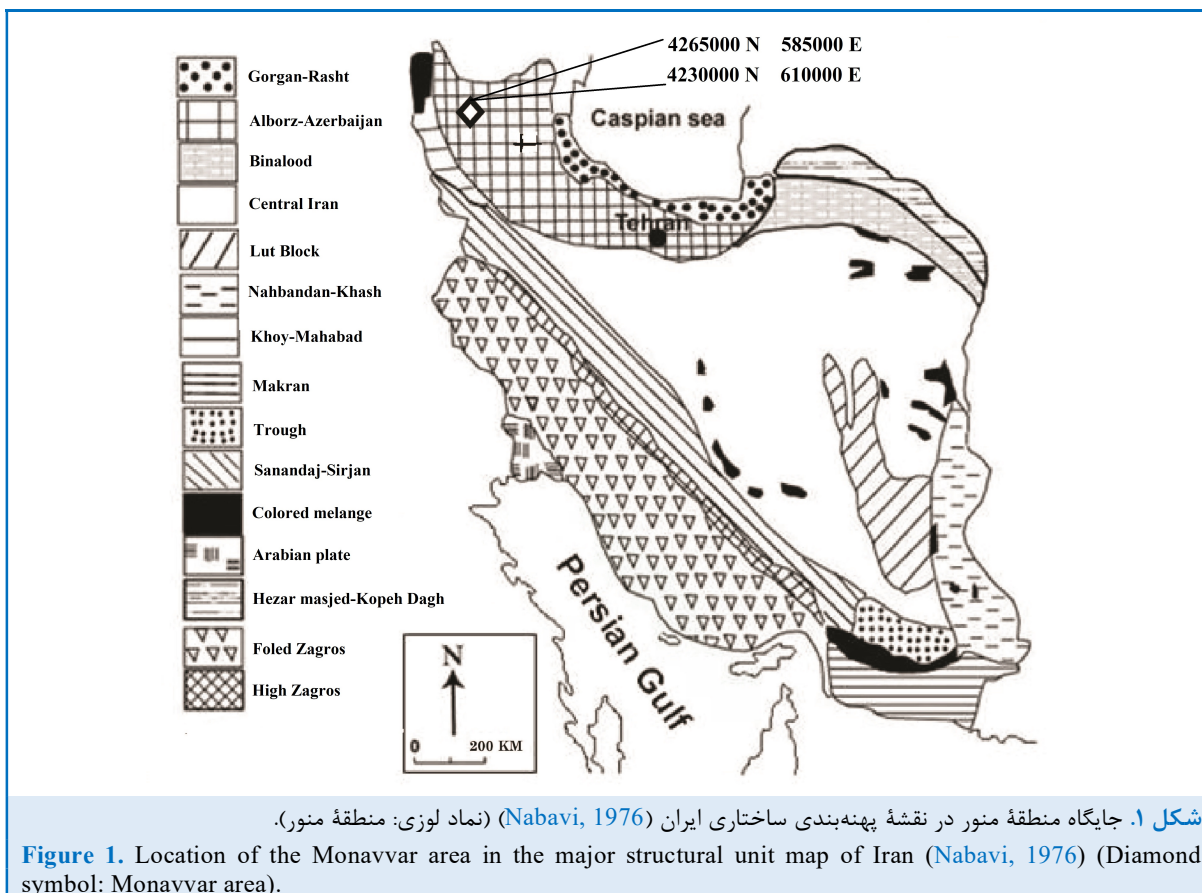
پ) لامپروفیرهای اولترامافیک که با حضور فنوکریستهای فلوگوبیت، الیوین و یا اوژیت در زمینه‌ای دارای کربنات و یا ملیلیت شناخته می‌شوند. فراوانی آنها از دیگر لامپروفیرها کمتر است و با مراکز اولترامافیک آلکالی-کربناتیت و Downes et al., (2005; Gill, 2010) سینیت‌ها در کافت‌های قاره‌ای رخ می‌دهند.

اگرچه راک (Rock, 1991) لامپروفیرها و کیمبلیت‌ها را از گروه لامپروفیرها می‌داند، اما برپایه رده‌بندی Le (IUGS Maitre, 2002)، آنها لامپروفیر به شمار نمی‌روند. از سوی Le Maitre, (2002) لامپروفیرهایی هستند که (۱) کانی‌های فلدسپاتوییدی ندارند و (۲) میزان پلازیوکلازها در آن از ارتوز بیشتر است. همچنین، هورنبلند و کلینوپیروکسن کانی‌های مافیک غالب در اسپسارتیت‌ها هستند.

زمین‌شناسان بسیاری دایک‌های لامپروفیری با سن‌های چینه‌ای مختلف و ترکیب‌های متنوع در آذربایجان را بررسی کرده‌اند. برخی از این بررسی‌ها عبارتند از: منطقه میشو با ترکیب کمپتونیتی و آلکالن و جوانتر از کهر (Gharehchahi et al., 2017)؛ کوه‌گوی پشتی مراغه با ترکیب کرسانتیت و Akbarzadeh Laleh et al., (2017) کالک‌آلکالن و سیمیرین پیشین

آتشفشنانی را به نمایش گذاشته است (Amel, 1994). ضخامت کل این توالی ۷۱۰ متر است و امتداد جنوب‌خاوری- شمال‌باختری دارد. برپایه شواهد چینه‌ای در پایان میوسن بالایی و پلیوسن زیرین، فوران‌های آتشفشنانی با ترکیب داسیت و آندزیت‌ها روی رسوب‌های قرمز بالایی جای گرفته‌اند (Amel, 1994). روند یادشده چندین بار تکرار شده است. پس از وقفه‌ای نسبتاً بلند، روانه‌های بازیک فوران کرده و سرانجام در امتداد شکستگی‌های ژرف، روانه‌های بازیک بیرون ریخته و منشورهای بازالتی ضخیم لایه‌ای با درازای بیشتر از ۱۰ متر و پهنای نزدیک به ۲ متر را پدید آورده‌اند (Amel, 1994).

تبریز در پهنه ساختاری البرز- آذربایجان جای دارد (Nabavi, 1976). منطقه آذربایجان (شمال‌باختری ایران) در کواترنری دچار فاز حرارتی مهمی شده است (Darvishzadeh, 1991). در دوره پلیوکواترنری، در اثر فاز فشارشی میان پوسته عربی و اوراسیا، کوتاه‌شدگی و ضخیم‌شدگی چشمگیری در پوسته ایران رخ داده است. در پی رخداد حرکت‌های کششی و گسیختگی‌های محلی در راستای گسل‌ها و شکستگی‌های ژرف، خروج گدازه‌ها و فعالیت‌های آتشفشنانی روی داده‌اند (Darvishzadeh, 1991). مانع این اتفاق نبود. ماگماتیسم پلیوکواترنری در حاشیه شمالی گسل تبریز (بخش شمالی روستای منور) یک توالی معکوس



شکل ۱. جایگاه منطقه منور در نقشه پهنه‌بندی ساختاری ایران (Nabavi, 1976) (نماد لوزی: منطقه منور).

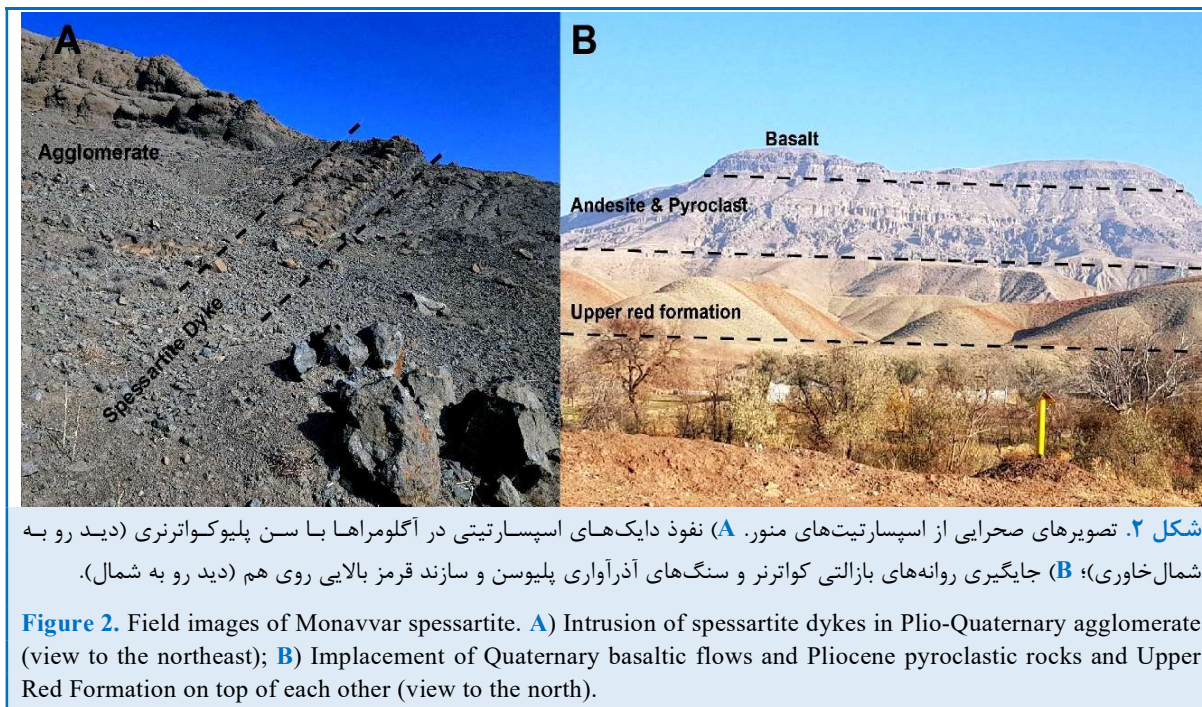
Figure 1. Location of the Monavvar area in the major structural unit map of Iran (Nabavi, 1976) (Diamond symbol: Monavvar area).

شواهد صحرابی، آندزیت‌ها به صورت روانه بخشی از توالی آتشفشنانی- آذرآواری پلیوکواترنری را تشکیل می‌دهند، سن آندزیت‌ها نیز پلیوکواترنری است. در صحرابی آذرآواری‌ها روی سازند قرمز بالایی دیده می‌شوند (شکل

در منطقه منور دو دایک لامپروفیری اسپسارتیتی با قطری کمتر از ۵ متر، به صورت دایک کم وسعت با حاشیه نامشخص در بخش آگلومراتی و آندزیتی در بخش پایین توالی نفوذ کرده‌اند (شکل ۲-۲A). از آنجایی که برپایه

درخشان آمفیبول دارند و به طور واضحی ویژگی پورفیری نشان می‌دهند. در [شکل ۳](#)، نقشه زمین‌شناسی منطقه Jalilian and [برپایه نقشه ۱:۱۰۰۰۰۰ تبریز \(Afsharianzadeh, 1991\)](#) آورده شده است.

(B). همچنین، جایگیری منشورهای بازالتی کواترنری روی سنگ‌های آذرآواری پلیوسن نیز دیده می‌شود. رنگ اسپسارتیت‌ها در نمونه دستی قهوه‌ای مایل به سیاه با زمینه قرمز قهوه‌ای است. این سنگ‌ها فنوکریست‌های



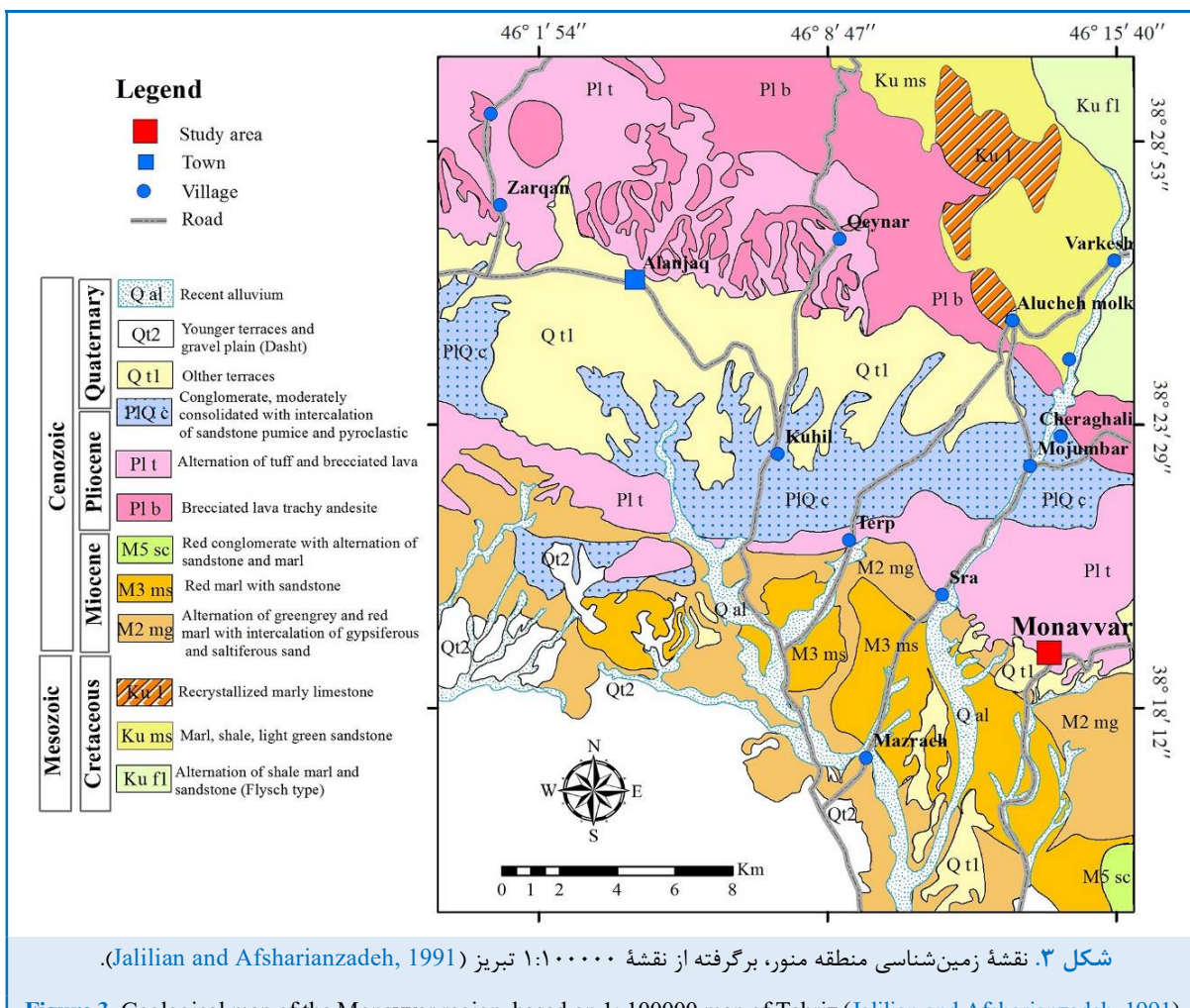
۳ برپایه روش دروپ ([Droop, 1987](#)) انجام شد. سپس برای تکمیل بررسی‌ها، شمار ۵ نمونه از سنگ‌های سالم و نادگرسان اسپسارتیتی، برای اندازه‌گیری درصد اکسید عنصرهای اصلی با دستگاه XRF(WD) ([Rigaku](#) مدل ^۱ICP-MS [Naruto](#) در دانشگاه [Naruto](#)) و عنصرهای فرعی و کمیاب با دستگاه [JXA-8800R](#) [JEOL](#) مدل [Minpet 2.02](#) (با ولتاژ شتابدهنده ۱۵ keV و شدت جریان ۱۵ nA) تجزیه شدند. فرمول ساختاری کانی‌ها برپایه داده‌های به دست آمده از تجزیه با ریزکاو الکترونی، برنامه تصحیح گر ZAF و نرم‌افزار [Whitney and Whitney, 1994, 2007](#) ([Evans, 2010](#)) برگرفته شده است.

روش انجام پژوهش

در بررسی‌های صحراوی، شمار ۱۰ نمونه از دو دایک اسپسارتیتی برداشت و از همه آنها مقطع نازک تهیه شد. برای بررسی‌های شیمی کانی‌ها، در یک مقطع اسپسارتیتی، ۳۰ نقطه از کانی‌های بیوتیت، آمفیبول، فلدسپار و کلینوپیروکسن در آزمایشگاه دانشگاه [Naruto](#) کشور ژاپن با دستگاه ریزکاو الکترونی [JXA-8800R](#) مدل [Minpet 2.02](#) (با ولتاژ شتابدهنده ۱۵ keV و شدت جریان ۱۵ nA) تجزیه شدند. فرمول ساختاری کانی‌ها برپایه داده‌های به دست آمده از تجزیه با ریزکاو الکترونی، برنامه تصحیح گر ZAF و نرم‌افزار [Minpet 2.02](#) به دست آورده شد. در به دست آوردن فرمول ساختاری کلینوپیروکسن‌ها، تفکیک آهن ۲ و

¹ X-Ray fluorescence spectroscopy

² Inductively coupled plasma mass spectrometry



شکل ۳. نقشه زمین‌شناسی منطقه منور، برگرفته از نقشه ۱:۱۰۰۰۰۰ تبریز (Jalilian and Afsharianzadeh, 1991).

Figure 3. Geological map of the Monavvar region, based on 1: 100000 map of Tabriz (Jalilian and Afsharianzadeh, 1991).

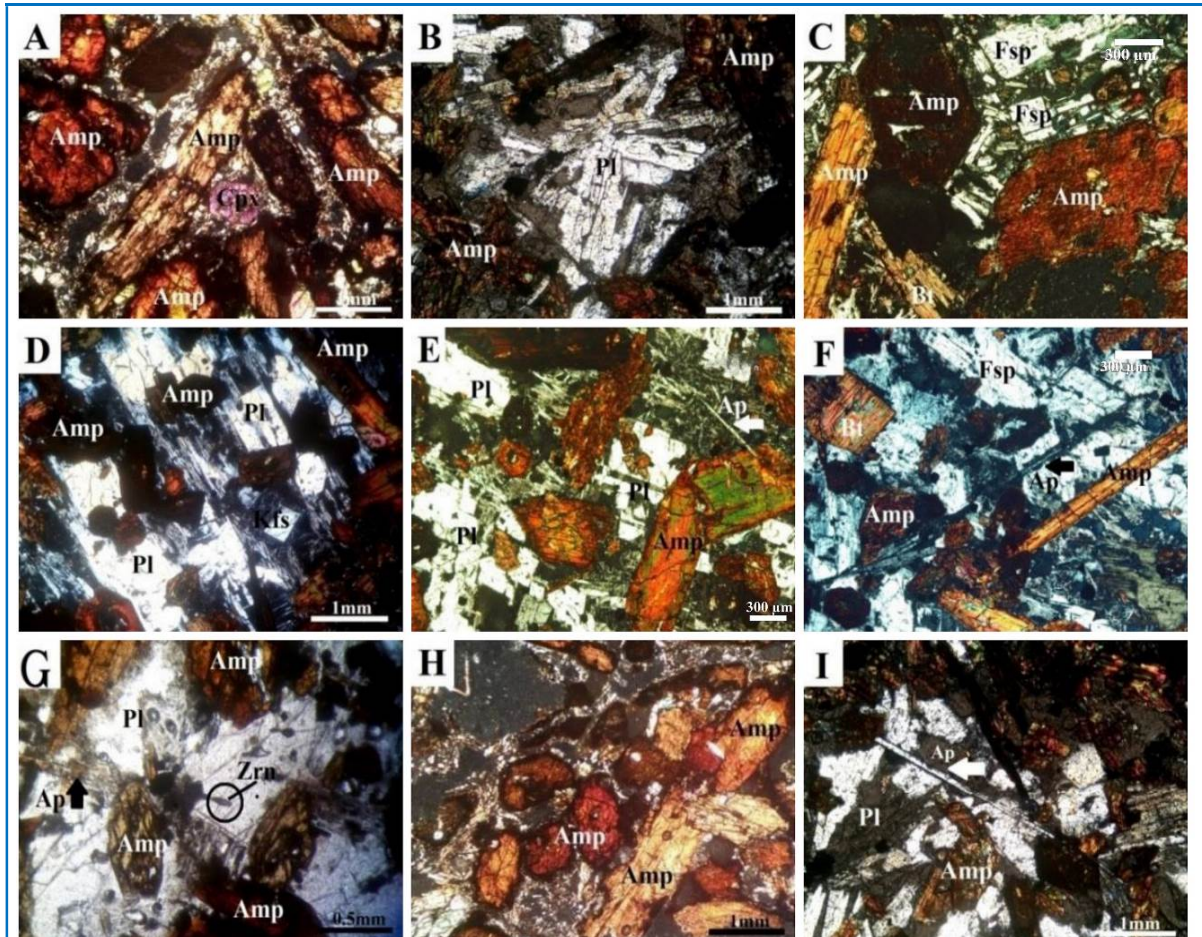
(۲۰-۱۵ درصد حجمی) و بیوتیت (۱۰-۱۵ درصد حجمی) در خمیره‌ای شیشه‌ای و غنی از آهن هستند. بلورهای زیرکن (شکل ۴-۴)، آپاتیت (شکل ۴-۵)، اسفن از کانی‌های فرعی سازنده این سنگ‌ها به شمار می‌روند. فتوکریست‌های آمفیبول به کلریت و کربنات تجزیه شده‌اند. در زمینه مقاطع، پرشدگی حفره‌ها با کلسیت و کلریت دیده می‌شود. از این‌رو، کلسیت، زئولیت و کلریت از کانی‌های تجزیه‌ای نمونه‌ها هستند. زمینه سنگ نیز از میکرولیت‌های پلازیوکلаз، ارتوز، کلریت، کلسیت و کانی‌های کدر ساخته شده است.

از آنجایی که در این سنگ‌ها درصد پلازیوکلازها از ارتوزها بسیار بیشتر است و هر دوی این کانی‌ها به صورت میکرولیت دیده می‌شوند و نیز فنوکریست‌های سازنده این سنگ‌ها تنها کانی‌های مافیکی مانند آمفیبول،

سنگنگاری

در ادامه ویژگی‌های سنگنگاری دایک‌های لامپروفیری منطقه منور بررسی شده‌اند (شکل ۴). بافت‌های اصلی این سنگ‌ها پورفیری و میکرولیتیک پورفیری (شکل ۴-A)، و بافت‌های فرعی آنها گلومرومپورفیری (حاصل تجمع بلورهای آمفیبول و گاهی میکرولیت‌های پلازیوکلاز) (شکل ۴-B)، اوسالار (جایگیری میکرولیت‌های پلازیوکلاز موازی فنوکریست آمفیبول) (شکل ۴-C) و پویی کیلیتیک (شکل ۴-D) هستند. کانی‌های اصلی سازنده این لامپروفیرها شامل میکرولیت‌های پلازیوکلاز (۱۰-۱۵ درصد حجمی) (شکل‌های ۴-E و ۴-F)، ارتوز (۵-۱۰ درصد حجمی)، درشت بلورهای شکل‌دار هورنبلند با حاشیه سوخته (۵۰-۴۰ درصد حجمی) (شکل‌های ۴-G و ۴-H)، پیروکسن

کلینوبیروکسن و بیوتیت هستند، برپایه رده‌بندی لومایتره کلینوبیروکسن و بیوتیت هستند، برپایه رده‌بندی لومایتره (Le Maitre, 2002) نام این سنگ‌ها اسپسارتیت است.



شکل ۴. تصویرهای میکروسکوپی مقاطع لامپروفیری منطقه منور. **(A)** بافت میکROLیتیک پورفیری و فنوکریستهای شکل دار آمفیبول و پیروکسن (XPL); **(B)** تجمع فنوکریستهای پلازیوکلاز بافت گلومرپورفیری را پدید آورده است (XPL); **(C)** میکROLیت‌های پلازیوکلاز موازی فنوکریست آمفیبول، سبب پیدایش بافت اوسالار شده‌اند (XPL); **(D)** پلازیوکلاز‌های زمینه دارای میانبارهایی از آمفیبول و پیروکسن هستند و بافت پویی‌کیلیتیک را پدید آورده‌اند (XPL); **(E)** فنوکریستهای زونینگ‌دار آمفیبول در زمینه‌ای از پلازیوکلاز (XPL); **(F)** فنوکریستهای پلازیوکلاز، آمفیبول و بیوتیت (XPL); **(G)** حضور زیرکن منتشری در پیکره فلدسپار زمینه (PPL); **(H)** فنوکریستهای نیمه‌شکل دار آمفیبول با حاشیه سوخته (PPL); **(I)** فراوانی بلورهای سوزنی و دراز آپاتیت در زمینه لامپروفیرهای منطقه بهمراه فنوکریستهای آمفیبول (XPL).

Figure 4. Photomicrographs of lamprophyric sections of the Monavvar area. **A)** Microlithicporphyry texture and euhedral amphibole and pyroxene phenocrysts (XPL); **B)** Accumulation of plagioclase phenocrysts has produced glomeroporphyry texture (XPL); **C)** Plagioclase microlites, in parallel with amphibole phenocrysts, produce ocellar texture (XPL); **D)** The plagioclase in the groundmass contains amphibole and pyroxene inclusions and forms poikilitic texture (XPL); **E)** Zoned amphibole phenocrysts in the groundmass of plagioclase (XPL); **F)** Plagioclase, amphibole, and biotite phenocrysts; (XPL); **G)** Presence of prismatic zircon in the groundmass feldspar (PPL); **H)** Subhedral amphibole phenocrysts with burnt margin (PPL); **I)** Abundance of long, needle-shaped apatite crystals in the groundmass of studied lamprophyres with amphibole phenocrysts (XPL).

³ Cross Polarized Light

⁴ Plane Polarized Light

حاشیه کانی؛ Core: مرکز کانی؛ mid: زمینه کانی). در بررسی کنونی، در رابطه با داده‌های شیمی کانی، تمکز بر تعیین نوع بیوتیت و آمفیبول دایک اسپسارتیتی و بررسی عمیق‌تر شیمی کانی کلینوپیروکسن است.

شیمی کانی

در این بررسی کانی‌های آمفیبول، بیوتیت، پلاژیوکلاز و کلینوپیروکسن در دایک‌های لامپروفیری تجزیه نقطه‌ای شدند. داده‌های آنها در [جدول‌های ۱ و ۲](#) آورده شده است.

جدول ۱. داده‌های ریزکاو الکترونی و فرمول ساختاری کانی‌های آمفیبول و بیوتیت در دایک‌های لامپروفیری منور.

Table 1. Microprobe analysis and structural formula of amphibole and biotite minerals of Monavvar lamprophyric dikes.

Mineral	Amphibole										Biotite				
	core	mid	mid	Rim	Core	mid	Rim	Core	mid	rim	Core	mid	mid	mid	Rim
Point No.	M.Z.1	M.Z.2	M.Z.3	M.Z.4	M.Z.5	M.Z.6	M.Z.7	M.Z.8	M.Z.9	M.Z.10	M.Z.11	M.Z.12	M.Z.13	M.Z.14	M.Z.15
SiO ₂	43.23	41.84	41.00	41.35	43.15	42.96	42.70	42.12	41.96	42.30	36.15	36.54	36.12	35.76	36.39
TiO ₂	2.68	2.85	2.45	2.96	2.72	2.70	2.60	2.74	2.65	2.70	3.77	3.72	4.03	3.94	4.14
Al ₂ O ₃	10.96	11.50	12.19	12.09	10.91	10.32	11.31	11.15	11.91	10.41	15.36	15.42	14.90	15.23	15.09
Cr ₂ O ₃	0.01	0.03	0.02	0.04	0.07	0.02	0.00	0.02	0.03	0.02	0.00	0.03	0.00	0.03	0.01
FeO*	8.54	11.07	12.65	11.80	8.20	8.80	8.20	8.47	12.48	8.61	14.00	13.95	13.77	13.76	13.54
MnO	0.11	0.18	0.14	0.21	0.10	0.09	0.09	0.07	0.18	0.08	0.17	0.21	0.14	0.22	0.16
MgO	16.78	15.19	13.75	14.36	16.73	17.01	16.32	16.69	13.85	16.78	16.24	15.46	16.26	16.12	15.46
CaO	11.22	11.34	11.31	10.81	11.25	11.39	11.21	11.36	11.16	10.84	0.00	0.02	0.02	0.00	0.00
Na ₂ O	2.92	3.04	2.93	2.98	2.86	2.93	2.86	2.67	2.79	2.87	1.14	1.21	1.20	1.19	1.12
K ₂ O	0.97	1.09	1.00	1.03	0.99	0.99	1.03	1.07	0.94	1.06	8.49	8.69	8.82	9.11	8.97
Total	97.41	98.10	97.42	97.59	96.91	97.17	96.31	96.32	97.93	95.65	95.30	95.26	95.26	95.37	94.86
O#	23	23	23	23	23	23	23	23	23	23	22	22	22	22	22
Si	6.216	6.070	6.029	6.019	6.234	6.209	6.220	6.129	6.112	6.186	5.140	5.198	5.149	5.105	5.199
Ti	0.289	0.311	0.271	0.324	0.295	0.293	0.285	0.299	0.291	0.297	2.571	2.584	2.501	2.561	2.538
Al ^{IV}	1.784	1.930	1.971	1.981	1.766	1.756	1.780	1.871	1.888	1.793	0.000	0.000	0.000	0.000	0.000
Al ^{VI}	0.072	0.035	0.141	0.092	0.090	0.000	0.160	0.040	0.155	0.000	0.403	0.398	0.432	0.423	0.444
Cr	0.001	0.004	0.002	0.005	0.008	0.002	0.000	0.002	0.003	0.002	0.000	0.000	0.000	0.000	0.000
Fe ²⁺	0.344	0.656	0.856	0.604	0.380	0.359	0.449	0.292	0.818	0.224	1.665	1.659	1.642	1.643	1.617
Fe ³⁺	0.683	0.687	0.699	0.832	0.611	0.704	0.550	0.738	0.702	0.829	0.000	0.004	0.000	0.004	0.001
Mn	0.014	0.022	0.017	0.026	0.012	0.011	0.011	0.008	0.023	0.009	0.020	0.025	0.016	0.026	0.019
Mg	3.597	3.286	3.014	3.117	3.604	3.664	3.545	3.620	3.008	3.659	3.442	3.278	3.455	3.430	3.292
Ca	1.729	1.762	1.782	1.686	1.742	1.765	1.750	1.771	1.741	1.698	0.000	0.003	0.002	0.000	0.000
Na	0.813	0.856	0.836	0.841	0.800	0.820	0.809	0.752	0.789	0.814	0.313	0.335	0.333	0.330	0.310
K	0.178	0.202	0.187	0.190	0.183	0.182	0.191	0.199	0.175	0.199	1.540	1.578	1.604	1.659	1.636
Cations	15.720	15.820	15.805	15.718	15.725	15.767	15.749	15.721	15.705	15.711	15.094	15.062	15.134	15.181	15.056
Fe#	0.087	0.166	0.221	0.162	0.025	0.089	0.112	0.074	0.248	0.057	0.330	0.340	0.320	0.320	0.330
Mg#	0.911	0.833	0.778	0.837	0.904	0.910	0.887	0.925	0.915	0.942	0.670	0.660	0.680	0.680	0.670

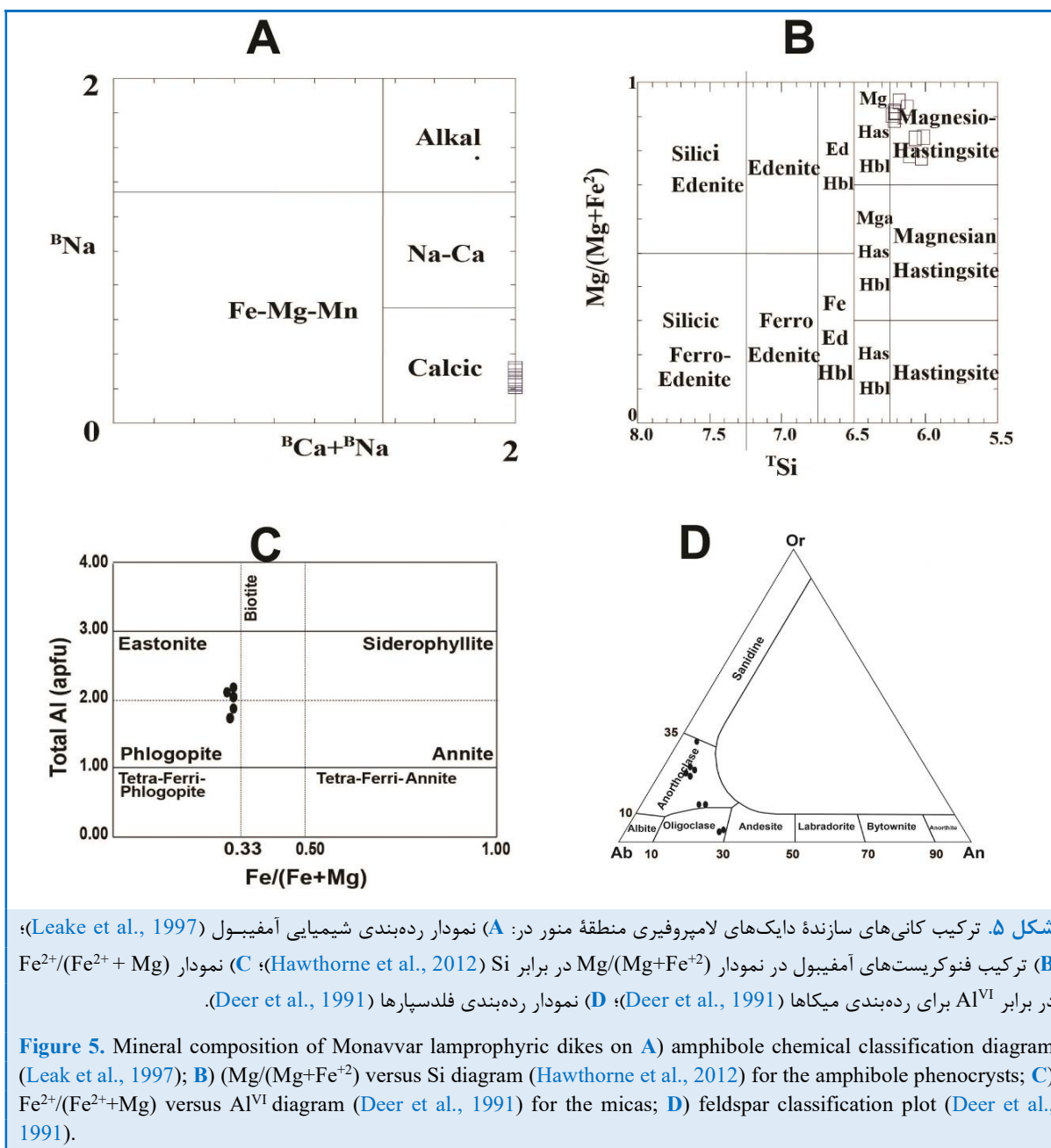
جدول ۲. داده‌های ریزکاو الکترونی و فرمول ساختاری کانی‌های فلدسپار و پیروکسن در دایک‌های لامپروفیری منور.

Table 2. Microprobe analysis and structural formula of feldspar and pyroxene minerals of Monavvar lamprophyric dikes.

Mineral	Feldspar								Clinopyroxene						
	Core	mid	Rim	Core	mid	Rim	Core	mid	Rim	Core	Rim	Core	mid	mid	Rim
Point No.	M.Z.16	M.Z.17	M.Z.18	M.Z.19	M.Z.20	M.Z.21	M.Z.22	M.Z.23	M.Z.24	M.Z.27	M.Z.28	M.Z.29	M.Z.30	M.Z.31	M.Z.32
SiO₂	64.14	63.40	72.32	67.93	71.37	71.40	59.83	60.62	63.88	51.54	53.33	51.20	52.63	51.60	51.61
TiO₂	0.08	0.09	0.13	0.18	0.21	0.19	0.05	0.00	0.05	0.83	0.19	0.60	0.11	0.53	0.63
Al₂O₃	19.36	21.51	15.39	17.12	15.45	14.98	24.02	24.20	21.28	3.25	1.63	3.33	1.22	2.10	2.29
FeO	0.76	0.78	0.75	1.07	0.21	1.02	0.28	0.30	0.45	4.87	3.99	4.01	7.50	4.99	5.95
MnO	0.00	0.00	0.02	0.05	0.00	0.02	0.00	0.02	0.00	0.50	0.54	1.23	0.03	0.23	0.10
MgO	0.03	0.04	0.49	0.18	0.12	0.04	0.00	0.00	0.02	0.11	0.13	0.12	0.52	0.10	0.13
CaO	1.71	3.27	0.97	1.91	1.52	0.60	5.48	5.71	2.69	15.92	16.12	15.78	14.90	16.82	16.84
Na₂O	8.07	8.68	5.81	7.15	6.30	5.71	8.09	7.88	8.59	22.81	23.65	21.26	21.90	21.71	21.99
K₂O	3.92	2.23	3.38	3.46	3.38	5.19	0.57	0.59	2.20	0.61	0.74	0.72	0.64	0.40	0.39
Total	98.05	99.99	99.24	99.02	98.55	99.15	98.31	99.32	99.15	100.51	100.33	98.25	99.45	98.53	99.94
O#	8	8	8	8	8	8	8	8	8	6	6	6	6	6	6
Si	2.925	2.833	3.175	3.040	3.161	3.173	2.712	2.718	2.863	1.87	1.94	1.90	1.95	1.91	1.89
Ti	0.003	0.003	0.004	0.006	0.007	0.006	0.002	0.000	0.002	0.02	0.01	0.02	0.00	0.01	0.02
Al	1.039	1.132	0.796	0.902	0.806	0.784	1.282	1.278	1.123	0.14	0.07	0.15	0.05	0.09	0.10
Fe²⁺	0.029	0.029	0.027	0.040	0.008	0.038	0.011	0.011	0.017	0.00	0.00	0.00	0.02	0.00	0.00
Fe³⁺	0.000	0.000	0.000	0.000	0.000	0.000	0.000	0.000	0.000	0.04	0.03	0.06	0.17	0.07	0.07
Mn	0.000	0.000	0.001	0.002	0.000	0.001	0.000	0.001	0.000	0.11	0.09	0.07	0.06	0.08	0.12
Mg	0.002	0.003	0.032	0.012	0.008	0.003	0.000	0.000	0.001	0.02	0.02	0.04	0.00	0.01	0.00
Ca	0.083	0.156	0.045	0.092	0.072	0.028	0.266	0.274	0.129	0.86	0.87	0.87	0.82	0.93	0.92
Na	0.713	0.752	0.494	0.620	0.541	0.492	0.711	0.685	0.747	0.89	0.92	0.85	0.87	0.86	0.86
K	0.228	0.127	0.189	0.197	0.191	0.294	0.033	0.034	0.126	0.04	0.05	0.05	0.05	0.03	0.03
Cations	5.022	5.035	4.763	4.911	4.794	4.819	5.017	5.001	5.008						
Ab	69.60	72.70	67.90	68.20	67.30	60.40	70.40	69.00	74.60	Wo=0.50	0.51	0.48	0.47	0.46	0.47
An	8.10	15.10	6.20	10.10	9.00	3.40	26.30	27.60	12.90	En=0.48	0.48	0.49	0.44	0.50	0.50
Or	22.30	12.30	26.00	21.70	23.80	36.10	3.30	3.40	12.60	Fs=0.02	0.01	0.03	0.09	0.04	0.04

ترکیب میکاهای بررسی شده در نمودار **شکل ۵** نسبت $\text{Al}^{IV}/(\text{Fe}+\text{Mg})$ استونیت جای می‌گیرند. مقدار $0.68 \leq \text{Mg} \# \leq 0.60$ و $0.32 \leq \text{Fe} \# \leq 0.34$ است. در بلورهای بیوتیت تجزیه شده میزان اکسیدهای سیلیسیم، منگنز و تیتانیم، از مرکز به حاشیه افزایش و پتانسیم کاسته شود (**شکل ۵**). همچنان، فلدسپارهای تجزیه شده ترکیب الیگوکلاز تا آنورتوکلاز دارند (**شکل ۵D**).

بلورهای آمفیبول بررسی شده از نوع مگنزیو-هاستینگسیت هستند و میزان اکسیدهای آلومینیم، کروم، آهن، منگنز و کلسیم از مرکز به حاشیه به طور نسبی افزایش می‌یابد. این افزایش در اکسید آهن به طور محسوس‌تری است و از نزدیک به ۸٪ در مرکز تا ۱۲٪ در حاشیه می‌رسد. در حالی که از مرکز به حاشیه از میزان اکسیدهای سیلیسیم، منیزیم، تیتانیم، سدیم، پتانسیم و نیکل کاسته می‌شود (**شکل‌های A-5 و B-5**).



نشان‌دهنده پیروکسن‌های Ca-Mg-Fe (شکل ۶-۴).
برپایه نمودار En-Wo-Fs، کلینوپیروکسن‌هایی بررسی شده در محدوده دیوبسید جای می‌گیرند (شکل ۶-۵). برپایه نمودار $Ti-Ca+Na$ ، مagma مادر کلینوپیروکسن‌ها از نوع بازالت‌های توله‌ایتی و کالک‌آکالان است (شکل ۷-۷). گفتنی است با توجه به اینکه دو کانی کلینوپیروکسن تجزیه شده‌اند، هر کدام با نمادهای مختلف نشان داده شده‌اند.

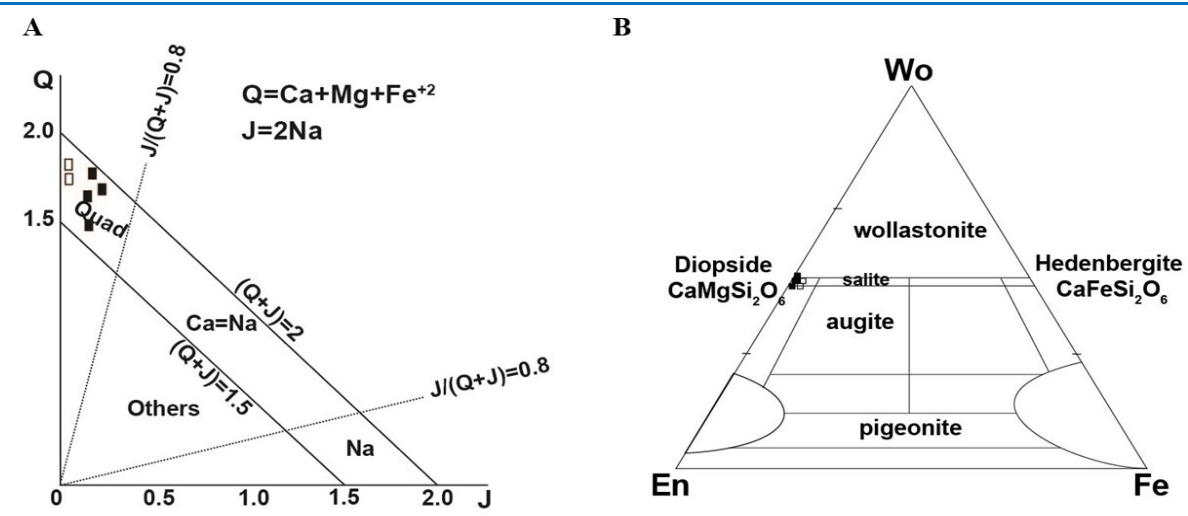
بحث الف- بررسی شیمی کانی پیروکسن دایک‌های اسپسارتیتی منور

رده‌بندی و بررسی سری مagma کلینوپیروکسن دایک‌های اسپسارتیتی منور: برپایه نمودار J-Q، این کلینوپیروکسن‌ها در محدوده Quad جای می‌گیرند که

نمودار اشاره شده دو نتیجه به دست می‌آید. نخست اینکه کلینوپیروکسن‌های بررسی شده در شرایط فوگاسیتۀ کم اکسیژن^۵ پدید آمده‌اند؛ دوم اینکه فوگاسیتۀ اکسیژن در هنگام تبلور این کلینوپیروکسن‌ها تقریباً ثابت بوده است.

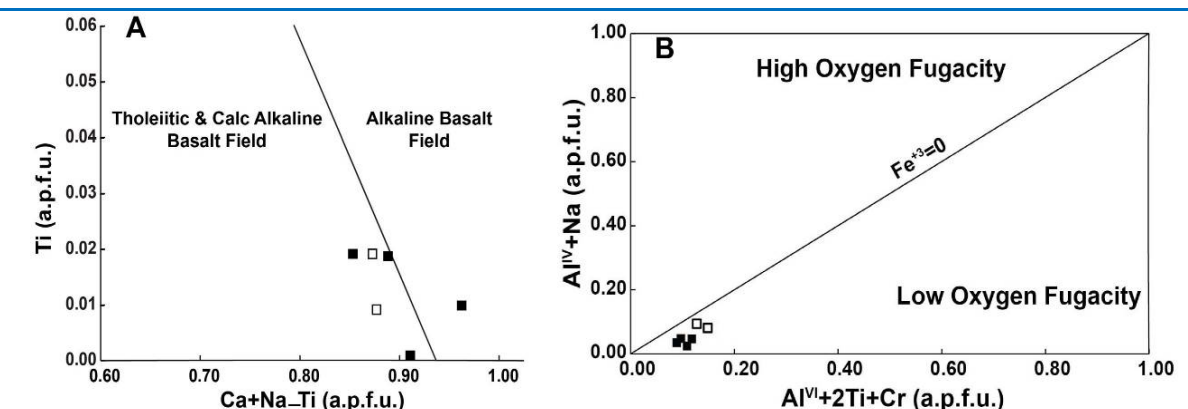
^۵ Low Oxygen Fugacity

بررسی تغییرات فوگاسیتۀ اکسیژن در کلینوپیروکسن دایک‌های اسپسارتیتی منور: اهمیت بررسی تغییرات فوگاسیتۀ اکسیژن مانند این را است که تغییر فوگاسیتۀ می‌تواند سبب تغییر کانی‌های تبلور یافته در مانع شود (Rittman, 1973) برای بررسی فوگاسیتۀ اکسیژن در کانی کلینوپیروکسن نمودار $\text{Al}^{\text{VI}} + 2\text{Ti} + \text{Cr} -$



شکل ۶. ترکیب مرکز تا حاشیه دو بلور کلینوپیروکسن در: (A) نمودار سه‌تایی Q-J (Morimoto, 1988); (B) نمودار سه‌تایی En-Wo-Fs (Morimoto, 1988).

Figure 6. Core to rim composition of two clinopyroxene crystals on A) Q-J diagram (Morimoto, 1988); B) En-Wo-Fs ternary diagram (Morimoto, 1988).



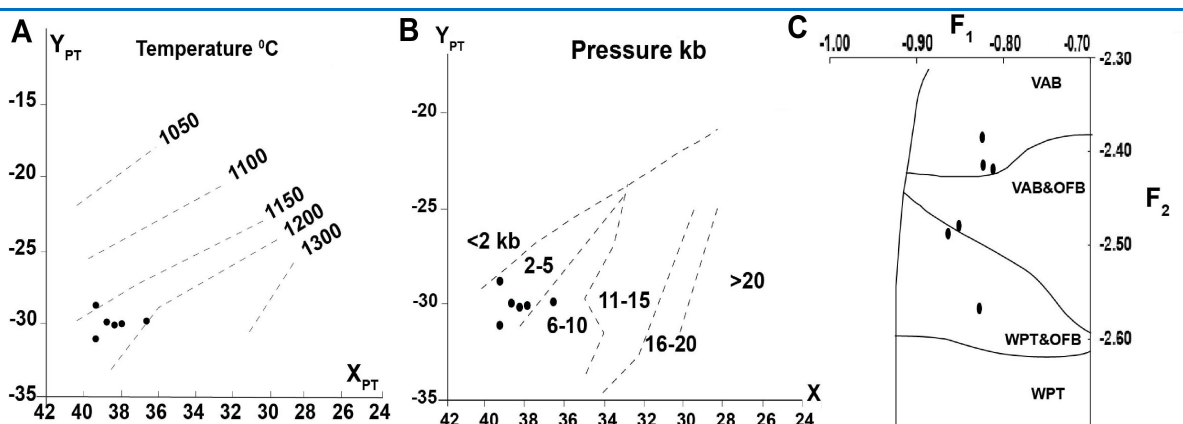
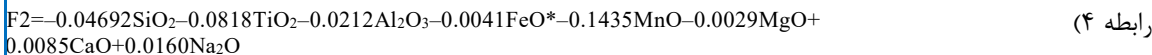
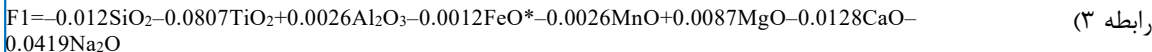
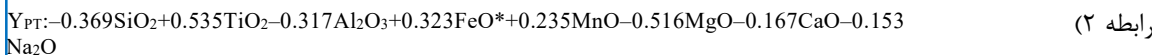
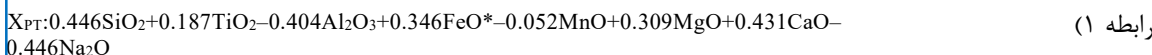
شکل ۷. ترکیب مرکز تا حاشیه دو بلور کلینوپیروکسن در: (A) نمودار $\text{Ca} + \text{Na}$ در برابر Ti (Leterrier et al., 1982); (B) نمودار $\text{Al}^{\text{VI}} + \text{Na}$ در برابر $\text{Al}^{\text{VI}} + 2\text{Ti} + \text{Cr}$ (Schweitzer et al., 1979).

Figure 7. Core to rim composition of two clinopyroxene crystals on A) $\text{Ca} + \text{Na}$ versus Ti diagram (Leterrier et al., 1982); B) $\text{Al}^{\text{VI}} + 2\text{Ti} + \text{Cr}$ versus $\text{Al}^{\text{VI}} + \text{Na}$ diagram (Schweitzer et al. (1979)).

برای بررسی ارتباط ترکیب شیمیایی کلینوپیروکسن‌ها با محیط زمین‌ساختی پیدایش Nisbet (1977) به کار برده می‌شود. برپایه شیمی کلینوپیروکسن‌ها، محیط پیدایش دایکهای اسپسارتیتی، بازالت کمان‌های آتشفسانی فروزانشی و توله‌ایتهای درون قاره‌ای به دست آمد (شکل C-۸). برپایه شیمی کلینوپیروکسن‌ها، محیط پیدایش دایکهای اسپسارتیتی در منطقه منور در آذربایجان شرقی (شکل C-۸) به دست آمد.

توابع X_{PT} و Y_{PT} به صورت رابطه ۱ و ۲ و توابع F_1 و F_2 به صورت رابطه ۳ و ۴ تعریف می‌شوند:

دماfasarسنجی و بررسی محیط زمین‌ساخت کلینوپیروکسن‌های دایکهای اسپسارتیتی منور: دما و فشار حاکم بر آشیانه ماقمایی، از عوامل تعیین‌کننده در پیدایش فازهای کانیایی در ماقم است (Neave and Putrika, 2017). در میان روش‌های دماfasarسنجی کلینوپیروکسن‌ها، دماfasarسنجی Soesoo (1997) کلینوپیروکسن‌ها به روش سوئسو (Soesoo, 1997) بررسی روی سنگ‌های بازیک پیشنهاد شده است. در این بررسی نیز همین روش به کار برده شده است. برپایه فرمول‌های پیشنهادی سوئسو (Soesoo, 1997) کلینوپیروکسن‌های اسپسارتیت منور در دمای ۱۱۰۰ تا ۱۲۰۰ درجه‌سانگیگراد (شکل A-۸) و فشار ۲ تا ۶ کیلوبار (شکل B-۸) پدید آمده‌اند.



شکل ۸. پراکنش کلینوپیروکسن‌های بررسی شده در دایکهای لامپروفیری منطقه منور در (A) نمودار X_{PT} - Y_{PT} برای دماfasarسنجی کلینوپیروکسن‌ها (Soesoo, 1997)؛ (B) نمودار X_{PT} - Y_{PT} برای فشارسنجی کلینوپیروکسن‌ها (Soesoo, 1997)؛ (C) نمودار F_1 - F_2 (Nisbet and Pearce, 1977) (OFB: بازالت‌های کمان‌های آتشفسانی فروزانشی شامل اقیانوسی و یا حاشیه فعال قاره‌ها؛ VAB: بازالت‌های کف اقیانوس. OFB: Ocean Flow Basalt; VAB: Volcanic Arc Basalt; WPT: Within Plate Tholeitic basalt; WPA: Within Plate Alkaline basalt).

Figure 8. Distribution of studied clinopyroxenes in the Monavvar lamprophyric dikes on (A) X_{PT} - Y_{PT} diagram for thermometry of clinopyroxenes (Soesoo, 1997); (B) X_{PT} - Y_{PT} diagram for barometry of clinopyroxenes (Soesoo, 1997); (C) F_1 - F_2 diagram after Nisbet and Pearce (1977) (OFB: Ocean Flow Basalt; VAB: Volcanic Arc Basalt; WPT: Within Plate Tholeitic basalt; WPA: Within Plate Alkaline basalt).

نامگذاری و تعیین سری ماقمایی دایک‌های لامپروفیری منطقه منور: در نمودار SiO_2 دربرابر قلیایی‌ها، نمونه‌های بررسی شده در گسترهٔ تراکی بازالت، بازالت و تراکی آندزیت-بازالتی (شکل ۹-*A*) جای می‌گیرند و در نمودار Nb/Y دربرابر Zr/TiO_2 آندزیت و بازالت ساب‌آلکالن نامگذاری می‌شوند (شکل ۹-*B*). برای تعیین نوع نمونه‌های لامپروفیری، نمودارهای دوتایی $\text{Na}_2\text{O}-\text{K}_2\text{O}$ و $\text{CaO}-\text{Al}_2\text{O}_3$ به کار برده شدند (شکل ۱۰). برپایهٔ این نمودارها، دایک‌های اسپسارتیتی منطقه منور، در محدوده سنگ‌های لامپروفیری و کالک‌آلکالن جای می‌گیرند.

ب- بررسی زمین‌شیمی دایک لامپروفیری منطقه منور

داده‌های به دست آمده از تجزیهٔ شیمیایی عنصرهای اصلی، کمیاب و خاکی کمیاب در دایک‌های لامپروفیری منطقه منور در جدول ۳ آورده شده‌اند. مقایسهٔ بازهٔ تغییرات اکسید عنصرهای اصلی دایک‌های لامپروفیری منطقه منور، با داده‌های راک (*Rock*, 1991) برای دایک‌های لامپروفیری کالک‌آلکالن (اسپسارتیت) (جدول ۴) نشان می‌دهد بازهٔ تغییرات اکسیدهای اصلی منطقه منور بیشتر در بازهٔ تغییرات پیشنهادی راک (*Rock*, 1991) جای دارد.

جدول ۳. داده‌های تجزیهٔ شیمیایی دایک‌های منطقه منور (عنصرهای اصلی برپایهٔ wt% و عنصرهای کمیاب برپایهٔ ppm). نمونه‌های شماره M.Z.1 تا M.Z.5 برگرفته از عامل (*Amel, 2007*) هستند. محاسبهٔ آهن دو و سه ظرفیتی برپایهٔ روش پیشنهادی ایروین و باراگار (Le Maitre, 1976) و روش اصلاحی پیشنهادی لومایتره (Irvine and Baragar, 1971) انجام شده است.

Table 3. Representative major (in wt%) and trace element (in ppm) of Monavvar spessartite compositions. M.Z.1 to M.Z.5 samples are from *Amel (2007)*. Calculations of ferric and ferrous iron have been performed by the method proposed by *Irvine and Baragar (1971)* and the modified method by *Le Maitre (1976)*.

Sample No.	M.Z.1	M.Z.2	M.Z.3	M.Z.4	M.Z.5	M.Z.A1	M.Z.A2	M.Z.6	M.Z.7	M.Z.lam3
SiO_2	51.58	52.06	50.01	51.10	50.47	51.81	47.17	53.92	51.53	53.34
TiO_2	1.42	1.41	1.84	1.39	1.39	1.42	2.12	1.85	1.48	1.32
Al_2O_3	14.57	14.64	10.77	14.39	14.26	14.60	14.49	15.29	15.80	14.00
Fe_2O_3^*	8.21	8.19	9.69	8.04	8.04	8.1	11.17	7.29	8.23	5.38
Fe_2O_3	1.75	1.97	3.58	1.01	1.70	1.70	2.39	1.56	1.97	1.29
FeO	6.45	6.21	6.11	7.02	6.30	6.38	8.77	5.72	6.25	4.08
MnO	0.12	0.11	0.14	0.11	0.12	0.11	0.15	0.14	0.14	0.13
MgO	6.53	6.45	8.70	6.33	6.52	6.47	7.28	4.05	5.16	6.74
CaO	8.46	8.27	11.10	8.12	8.28	8.35	8.92	6.90	7.90	7.92
Na_2O	4.12	4.31	3.22	4.23	4.32	4.20	3.97	3.31	3.64	4.33
K_2O	1.75	1.72	1.27	1.69	1.72	1.72	1.41	1.95	1.68	1.48
P_2O_5	0.98	0.97	1.23	0.5	0.98	1.00	1.04	0.24	0.66	0.96
LOI	2.24	1.82	2.52	3.62	4.19	2.21	1.79	3.67	3.44	2.98
Total	99.98	99.95	99.79	99.84	100.09	99.99	99.51	98.61	99.61	98.58
Cr	241	210	440	210	240	220	230	220	210	188
Ni	101	94	130	94	101	97	185	5	180	95
Co	32	28	40	36	40	38	42	21	37	32
Sc	11	12	8	9	11	12	14	10	12	9
V	196	188	230	203	221	194	238	188	213	190
Cu	34	38	36	35	47	52	82	52	48	42
Pb	9	9	41	9	9	9	7	12	10	11
Zn	148	124	190	152	134	98	148	111	101	106
Bi	0.08	0.10	0.12	0.10	0.09	0.12	0.15	0.14	0.11	0.10

جدول ۳. ادامه.

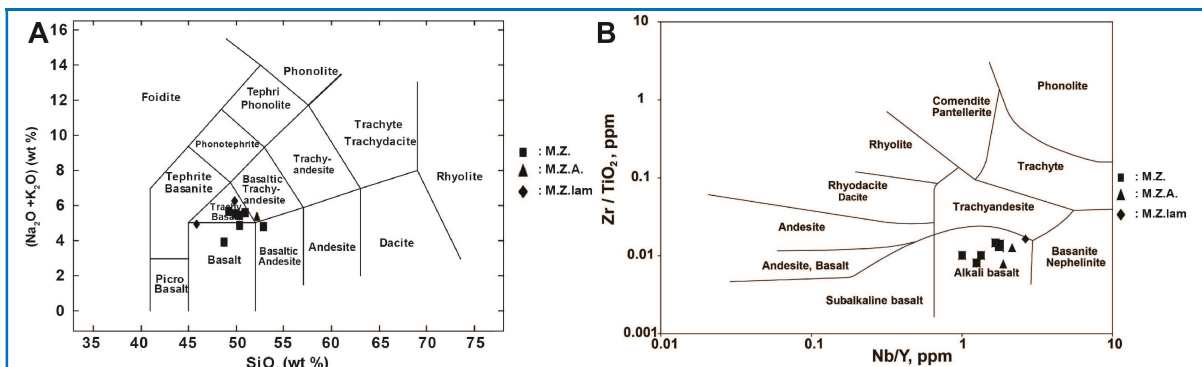
Table 3. Continued.

Sample No.	M.Z.1	M.Z.2	M.Z.3	M.Z.4	M.Z.5	M.Z.A1	M.Z.A2	M.Z.6	M.Z.7	M.Z.lam3
Cd	0.08	0.09	0.06	0.04	0.08	0.06	0.12	0.03	0.04	0.09
In	0.05	0.06	0.08	0.09	0.06	0.08	0.12	0.08	0.08	0.06
Sn	1.45	1.35	0.96	0.95	1.10	1.20	0.24	1.20	1.50	1.40
W	1.10	0.90	1.20	1.10	1.00	1.00	0.60	0.90	1.00	1.00
Mo	2.10	1.60	10.00	1.20	1.40	1.70	1.20	2.00	1.70	1.90
S	220.00	325.00	245.00	310.00	255.00	285.00	435.00	285.00	340.00	310.00
As	1.60	1.80	1.10	1.40	1.30	1.20	0.90	1.30	1.80	2.20
Se	0.30	0.60	0.50	0.40	0.60	0.30	0.70	0.30	0.40	0.50
Sb	0.20	0.32	0.22	0.15	0.23	0.25	0.35	0.15	0.25	0.20
Te	0.15	0.34	0.25	0.23	0.15	0.25	0.35	0.20	0.10	0.20
Ag	0.3	0.5	0.4	0.3	0.1	0.2	0.5	0.3	0.4	0.3
Hg	0.2	0.3	0.1	0.2	0.1	0.1	0.2	0.1	0.1	0.1
K	14727	14278	10542	14029	14278	14278	11704	16178	13946	12285
Rb	43	40	91	40	43	42	23	61	42	37
Cs	4.15	4.26	7.00	3.15	2.68	2.65	3.07	2.97	3.02	1.60
Ba	857	906	980	905	858	880	873	917	895	1010
Sr	1216	1284	1239	1283	1215	1260	1170	1130	1100	1290
Tl	0.10	0.11	0.14	1.13	0.13	0.12	0.12	0.12	0.11	0.11
Ga	22	15	21	16	20	18	18	19	19	21
Li	19.70	20.40	28.00	24.30	21.40	19.80	21.40	22.40	19.80	20.70
Ta	1.72	2.10	1.60	1.70	1.65	1.85	1.90	1.70	1.30	1.65
Nb	31.4	31.6	28.0	31.7	31.5	31.5	35.3	29.6	22.1	36.4
Hf	3.95	4.52	4.15	3.85	3.95	4.10	4.30	4.30	4.30	4.41
Zr	195	193	200	213	214	194	171	155	160	235
Ti	8513	8553	11030	8333	8333	8513	12709	11090	8872	7913
Y	18	17	21	18	19	17	19	24	22	14
Th	13.40	13.50	0.00	13.60	13.40	13.40	5.33	9.42	7.37	9.56
U	-	-	-	-	-	-	1.18	2.86	2.01	2.70
La	-	-	-	-	-	-	49.20	26.20	37.10	61.70
Ce	97.60	102.50	-	102.50	97.70	99.40	103.50	75.80	75.00	121.00
Pr	11.45	12.54	10.24	11.04	9.65	10.25	12.85	6.07	9.00	14.00
Nd	37.20	48.40	41.20	39.80	48.40	48.20	49.10	23.00	43.00	52.00
Sm	6.68	8.52	7.24	6.53	7.74	5.42	8.47	4.73	6.41	8.36
Eu	1.75	2.48	2.21	1.85	1.78	1.95	2.51	1.24	2.00	2.18
Gd	6.72	6.68	6.95	6.74	6.51	7.48	6.56	4.30	5.50	7.02
Tb	0.75	0.84	0.74	0.72	0.71	0.71	0.87	0.72	0.75	0.70
Dy	3.67	4.18	3.52	3.34	3.45	3.52	4.28	4.39	4.35	3.61
Ho	0.58	0.72	0.58	0.68	0.62	0.64	0.75	0.85	0.80	0.59
Er	1.74	1.85	1.52	1.68	2.15	1.84	1.97	2.60	2.30	1.44
Tm	-	-	-	-	-	-	0.28	0.43	2.30	0.18
Yb	-	-	2.70	-	-	0.00	1.50	2.62	2.01	1.12
Lu	-	-	-	-	-	-	0.21	0.40	0.30	0.16

جدول ۴. مقایسه بازه تغییرات اکسید عنصرهای اصلی دایک‌های لامپروفیری منطقه منور، با میانگین داده‌های راک (Rock, 1991) برای دایک‌های لامپروفیری کالک‌آلکالن (اسپسارتیت).

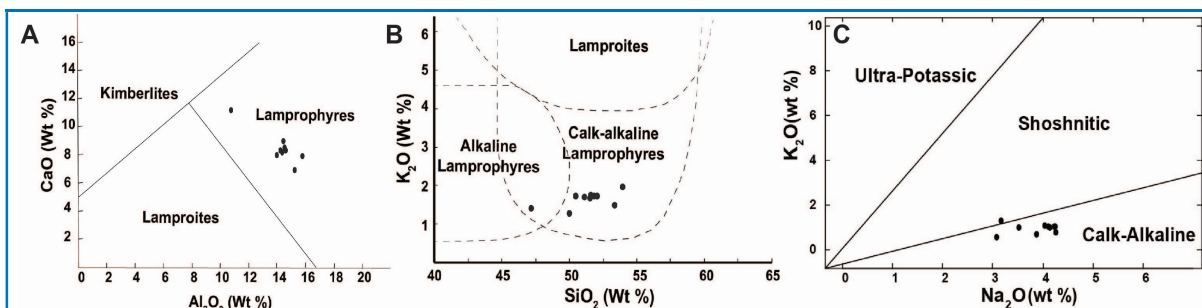
Table 4. Comparison of major element oxide changes of the Monavvar lamprophyric dykes with the mean of the analyses presented by Rock (1991) for calc-alkaline lamprophyric dykes (spessartite).

	Monavvar		Rock (1991)	
	Min	Max	Min	Max
SiO_2	47.17	53.92	43	63
Al_2O_3	10.77	15.8	10	19
CaO	6.9	11.1	2.7	10.5
MgO	4.05	8.7	2.1	14.4
Na_2O	3.22	4.33	2.2	7.5
K_2O	1.27	1.95	0.3	4.8
TiO_2	1.32	2.12	0.4	3.1
P_2O_5	0.24	1.23	0	0.6



شکل ۹. ترکیب لامپروفیرهای منطقه منور در (A) نمودار $\text{Na}_2\text{O} + \text{K}_2\text{O}$ دربرابر SiO_2 دربرابر (Le Bas et al., 1986) (B) نمودار Nb/Y دربرابر Zr/TiO_2 (Winchester and Floyd, 1977).

Figure 9. Monavvar spessartite composition on A) SiO_2 versus $\text{Na}_2\text{O} + \text{K}_2\text{O}$ (TAS) diagram (Le Bas et al., 1986); B) Nb/Y versus Zr/TiO_2 diagram (Winchester and Floyd, 1977).



شکل ۱۰. ترکیب لامپروفیرهای منطقه منور در: (A) نمودار Al_2O_3 دربرابر CaO دربرابر SiO_2 دربرابر (Foley et al., 1987) (B) نمودار K_2O دربرابر SiO_2 دربرابر (Rock, 1991) (C) نمودار Na_2O دربرابر K_2O برای تعیین سری‌های مگمایی (Rogers et al., 1998).

Figure 10. Monavvar spessartite samples on A) Al_2O_3 versus CaO diagram (Foley et al., 1987); B) SiO_2 versus K_2O diagram (Rock, 1991); C) Na_2O versus K_2O diagram for determination of magmatic series (Rogers et al., 1998).

ماگمات است (Rollinson, 1993). عنصر Y رفتار عنصرهای ناسازگاری همانند HREE^۸ را دارد و به آسانی در آمفیبیول و به مقدار کم در پپروکسن جای می‌گیرد (Rollinson, 1993). تنهی شدگی این عنصر می‌تواند پیامد پدیده جدایش بلورین کانی‌هایی همانند آمفیبیول یا ذوب‌بخشی در عمق باشد. بالابودن فراوانی عنصرهای LREE^۹ و LILE^{۱۰} نشان‌دهنده متاسوماتیزه شدن گوشتۀ غنی شده است (Rollinson, 1993). از این‌رو، گوشتۀ متاسوماتیزه شده می‌تواند خاستگاه مأگمایی Menzies and Wass, (1983) نمونه‌های لامپروفیری دانسته شود ().

الگوی عنصرهای خاکی کمیاب که برپایه داده‌های سان و مکدوناف (Sun and McDonough, 1989) نسبت به ترکیب کندریت بهنجار شده است (شکل B-۹)، غنی شدگی مشخصی از LREE دربرابر HREE به نمایش می‌گذارد (شکل B-۱۱). ویژگی مأگمایی شوشونیت-کالک‌آلکالن غنی شدگی بسیار بالای این مأگما از LREE و درصد ذوب‌بخشی اندک ماگمات است که اجزاء می‌دهد عنصرهای ناسازگار فراوانی به مأگمای اولیه وارد شوند. شکل کاو الگوهای یادشده پیامد جدایش بلورین آمفیبیول دانسته می‌شود (Altherr et al., 2000) که منجر به افزایش نسبت La/Yb در مذاب می‌شود.

⁸ Heavy Rare Earth Elements

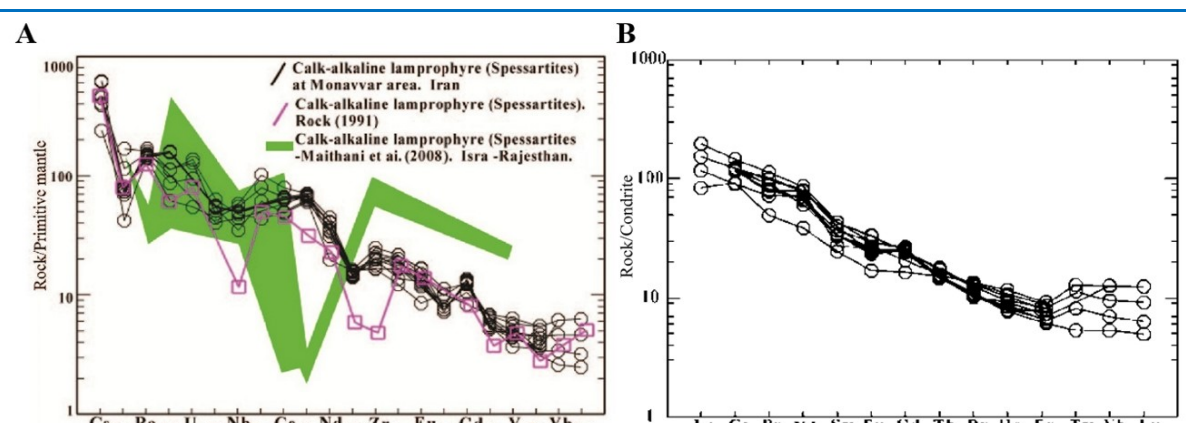
⁹ Light Rare Earth Elements

بررسی نمودارهای عنکبوتی

در بررسی نمودار عنکبوتی منطقه منور (شکل ۱۱) با دو لامپروفیر کالک‌آلکالن مشهور دیگر (لامپروفیر راک (Rock, Maithani et al., 1991) (به رنگ صورتی) و ایسرا- راجستان (Maithani et al., 2008) (به رنگ سبز) که برپایه کاهش ناسازگاری عنصرهای HFSE^{۱۱} و LILE^{۱۲} نسبت به گوشتۀ اولیه بهنجار شده‌اند (شکل A-۱۱)، آномالی منفی مشخصی از عنصرهای Ti و Nb می‌شود. از سوی دیگر، در دایک لامپروفیر منور آnomالی مثبت عنصرهایی مانند Ba, K, Th و U دیده می‌شود. تنهی شدگی از عنصرهای HFS و غنی شدگی از عنصرهای LIL از ویژگی‌های مأگمایی شوشونیتی و کالک‌آلکالن شمرده Foley and Wheller, Saunders et al., 1980; (1990) می‌شود. آnomالی منفی عنصرهای Ti و Nb به جدایش کانی‌های تیتانیم‌دار (مانند: اسفن، ایلمنیت) بستگی دارد. از سوی دیگر، برخی پژوهشگران (مانند: Edwards et al., 1994) تنهی شدگی یادشده را به بالابودن فوگاسیتۀ اکسیژن وابسته دانسته‌اند؛ زیرا در شرایطی که فوگاسیتۀ اکسیژن بالا باشد، دمای بیشتری برای ذوب کانی‌های تیتانیم‌دار نیاز است. فراوانی عنصرهای LILE که تحرک بالایی دارند، نشان‌دهنده حضور سیال‌های آبدار در محیط پیدایش مأگما و یا دخالت پوسته قاره‌ای در پیدایش

¹⁰ Large-Ion Lithophile Elements

¹¹ High Field Strength Elements



شکل ۱۱. ترکیب دایک‌های اسپسارتیتی منطقه منور در: (A) نمودار عنکبوتی منطقه منور به ترکیب گوشتۀ اولیه (Sun and McDonough, 1989); (B) الگوهای عنصرهای خاکی کمیاب بهنجارشده به ترکیب کندریت (McDonough, 1989).

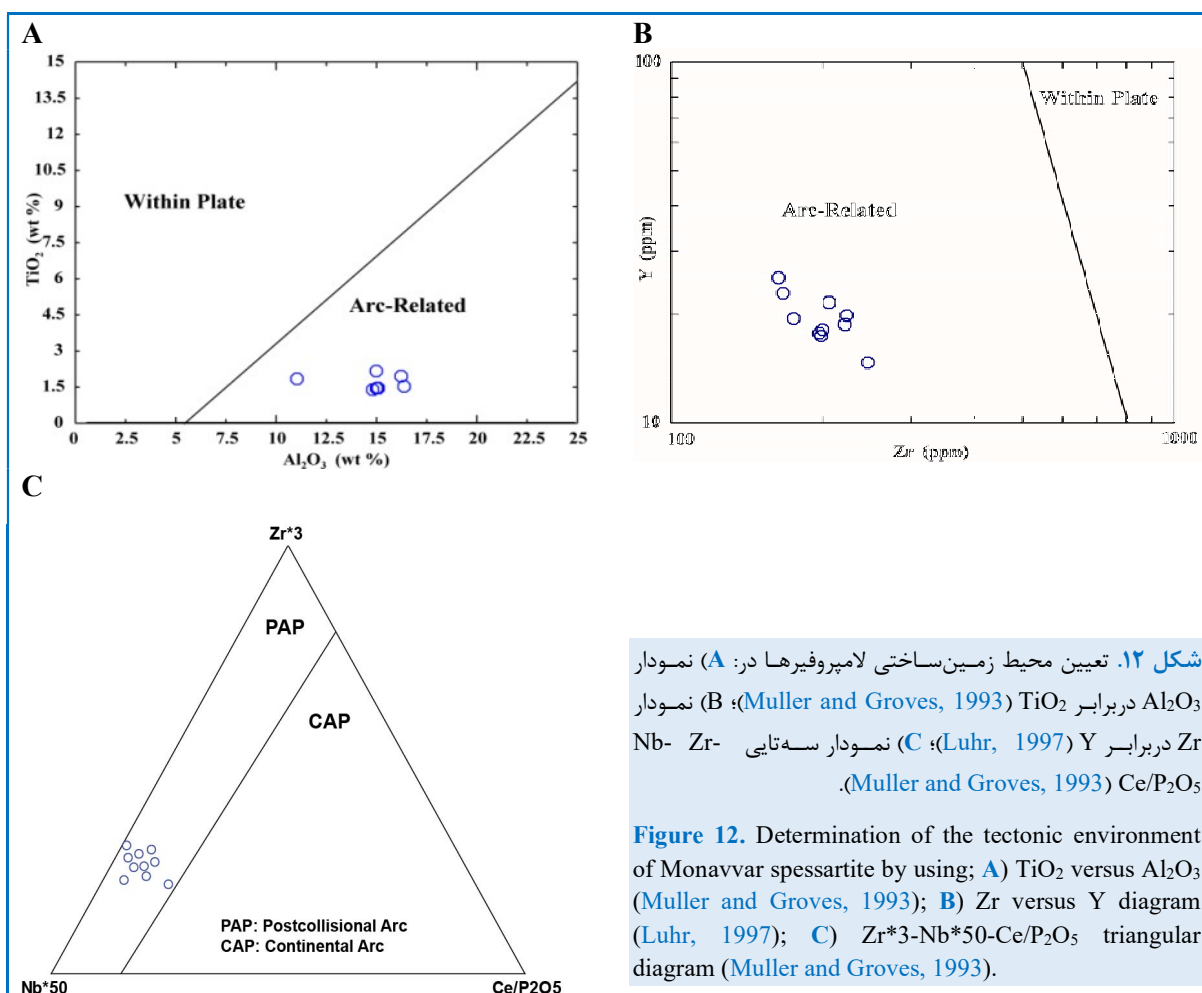
Figure 11. Composition of spessartite dykes of Monavvar area in **A**) Primitive mantle normalized trace element pattern (Sun and McDonough, 1989); **B**) Chondrite normalized rare earth element (REE) pattern (Sun and McDonough, 1989).

زمین ساختی وابسته به کمان مانگمایی برای پیدايش دایک لامپروفیری منور هستند. در نمودار محیط زمین ساختی برپایه داده های زمین شیمیایی کلینوپیروکسن، نمونه ها بیشتر در محدوده بازالت های کمان های آتشفسنی با گرایش به محیط درون صفحه ای جای گرفته اند (**شکل ۸**). برپایه داده های شیمی سنگ کل به ویژه در نمودار سه تایی $\text{Zr}^*3\text{-Nb}^*50\text{-Ce/P}_2\text{O}_5$ (**شکل ۱۲** C)، محیط کمان پس برخوردی برای این سنگ ها به دست آمده شده است. از آنجایی که نمونه های کمان های پسابرخوردی در نمودارها، گاه در محیط کمان و گاه در محیط درون صفحه ای جای می گیرند، میان داده های شیمی سنگ کل و کانی شناسی کلینوپیروکسن همخوانی دیده می شود.

همچنین، الگوهای عنصرهای خاکی کمیاب آنومالی Eu ندارند. تبلور همزمان آمفیبیول و پلازیوکلаз در سنگ های اسیدی و تبلور همزمان کلینوپیروکسن و پلازیوکلاز در سنگ های بازیک می تواند آنومالی Eu را حذف کند؛ زیرا آمفیبیول و کلینوپیروکسن آنومالی منفی Eu و پلازیوکلاز آنومالی Eu دارند (Rollinson, 1993). حضور کانی های یادشده در کنار یکدیگر آنومالی Eu را تعدیل خواهد کرد (Martin, 1999).

تعیین محیط زمین ساختی پیدايش دایک های لامپروفیری:

برای تعیین جایگاه تکتونوماگمایی دایک های لامپروفیری منطقه منور، نمودارهای دوتایی Al_2O_3 دربرابر TiO_2 و همچنین، Zr به کار برده شدند (**شکل ۱۲**). این نمودارها نشان دهنده محیط



شکل ۱۲. تعیین محیط زمین ساختی لامپروفیرها در: (A) نمودار TiO_2 دربرابر Al_2O_3 (Muller and Groves, 1993); (B) نمودار Al_2O_3 دربرابر Y (Muller and Groves, 1993); (C) نمودار سه تایی $\text{Nb}^*50\text{-Zr}^*3\text{-Ce/P}_2\text{O}_5$ دربرابر Y (Luhr, 1997).

Figure 12. Determination of the tectonic environment of Monavvar spessartite by using; A) TiO_2 versus Al_2O_3 (Muller and Groves, 1993); B) Zr versus Y diagram (Luhr, 1997); C) $\text{Zr}^*3\text{-Nb}^*50\text{-Ce/P}_2\text{O}_5$ triangular diagram (Muller and Groves, 1993).

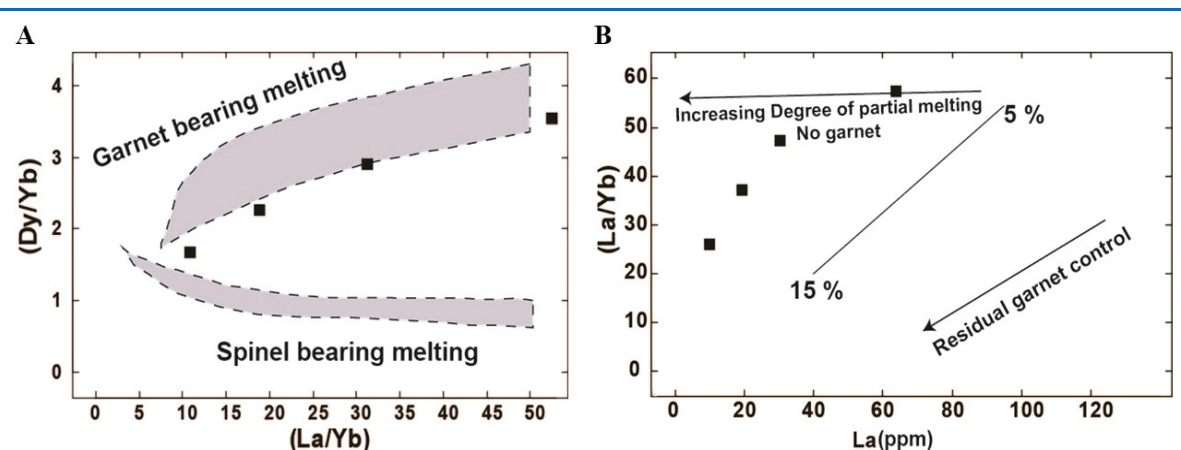
خاستگاه‌های مختلف است (Bowen, 1928). به موازات این مسئله اوتوماتوس‌ماتیسم و انجماد مایعات غنی از مواد فرار نیز به گ کانی‌شناصی کمک می‌کند (Rock, 1991).

عموًلاً بالابودن مقدار Sc، Cr، Co و Mg در ماگما نشان‌دهنده اولیه‌بودن آنست (Rock, 1991). وجود مقدار بالایی از عنصرهای یادشده در نمونه‌های منطقه منور نشان می‌دهد ماگمای مادر ماگمایی نزدیک به اولیه بوده است. از سوی دیگر، پرآکنش نمونه‌های اسپسارتیت منور در نمودار La/Yb دربرابر Dy/Yb نشان می‌دهد (شکل ۱۳) نمونه‌ها در محدوده گوشه‌گارنت‌دار جای می‌گیرند. در نمودار La/Yb، اسپسارتیت‌های منور در امتداد روندی جای می‌گیرند که نشان‌دهنده حضور کانی گارنت در هنگام فرایند ذوب‌بخشی است (شکل ۱۳-*B*). افزون‌براین، برپایه این نمودار، درصد ذوب‌بخشی پریدوتیت گوشه‌ای برای تولید ماگماتیسم منور از نزدیک به ۵ درجه تا نزدیک به ۱۵ درصد است. از آنجایی که مقدار Yb در شش نمونه صفر است، تنها ۴ نمونه را می‌توان در نمودار جانمایی کرد.

سنگ‌زایی دایک‌های لامپروفیری منور:

از آنجایی که از دیدگاه زمین‌شیمیایی، ماگمای لامپروفیری ترکیب ماگماهای بازالتی را نشان می‌دهد، برای درک پیدایش لامپروفیرها، بررسی روندهای روی داده در پیدایش ماگمای بازالتی بسیار راه‌گشاست. ماگمای بازالتی اولیه ویژگی‌های زیر را دارد: $Mg\# = ۰.۸۰$ ، $Sc_{ppm} = ۱۵-۳۰$ ، $Cr_{ppm} = ۵۰۰-۲۰۰$ ، $Co_{ppm} = ۸۰$ ، $Ni_{ppm} = ۷۰۰-۹۰$ و $La_{ppm} = ۸۰-۱۲۵$. برپایه داده‌های تجزیه شیمیایی، مقدار نسبت‌های یادشده در اسپسارتیت‌های منور به صورت $Mg\# = ۰.۳۲-۰.۴۹$ ، $Cr_{ppm} = ۲۵-۳۲$ ، $La_{ppm} = ۶۸-۹۴$ و $Ni_{ppm} = ۱۲۵-۲۳$ است. از این‌رو، نمی‌توان ماگمای اسپسارتیتی منور را ماگمایی اولیه دانست. در پیدایش بلورهای درشت در لامپروفیرها، شرایط فوق بحرانی و سیال‌های گرمایی دخالت مستقیم داشته‌اند (Rock, 1991).

همه فنوکریست‌های موجود در لامپروفیرها الزاماً فازهای لیکوپیدوس نیستند و برای رشد بلورهای درشت به یک فاز غنی از مواد فرار به همراه مواد اولیه آن کانی نیاز است. تنوع کانی‌شناصی در لامپروفیرها از دلایل پذیرش ماگمای هیبریدشده و بلورهایی از



شکل ۱۳. ترکیب نمونه‌های لامپروفیری منور در: **A**) نمودار Dy/Yb دربرابر La/Yb (Prelevic et al., 2012); **B**) نمودار La/Yb دربرابر La (Vigouroux et al., 2008).

Figure 13. Composition of Monavvar spessartite samples on: **A**) La/Yb versus Dy/Yb diagram (Prelevic et al., 2012); **B**) La / Yb versus La diagram (Vigouroux et al., 2008).

and Kidd, 1979; Jackson et al., 1995; McQuarrie et al., 2003) هستند. با توجه به سن چینه‌ای دایک لامپروفیری که درون توالی آذرآواری-آتشفشاری پلیوسن تزریق شده است و با روانه‌های بازالتی آلکالن پلیو-کواترنر محدود شده است و نیز برپایه نمودار **شکل ۱۲**، محیط کمانی زمین ساختی پیدایش آن را می‌توان کمان پسابرخوری حاشیه فعال قاره‌ای دانست. برای ذوب خاستگاه گوشه‌ای متاسوماتیزه (گوشه‌ای سست‌کره‌ای و یا سنگ‌کره‌ای) نیز دلایل متعددی پیشنهاد شده‌اند؛ مانند همگرایی مورب و به تبع آن، برخورد مورب و گسترش رژیم زمین ساختی ترافشاری و تراکشنی در سنگ‌کرۀ حاشیه فعال قاره‌ای، بالازدگی گوشه‌ای سست‌کره‌ای ناشی از باربرداری پس از برخورد و پیدایش مذاب‌های بخشی حاصل از کاهش فشار در دمای ثابت و نقش گسله‌های محلی و ترکیب عملکرد آنها (Agard et al., 2011).

برپایه الگوهای پیشنهادی راک (Rock, 1991) برای M7 مامپروفیرهای کالک‌آلکالن خاستگاه مامگمایی M6 و پیشنهاد شده است که دربارۀ خاستگاه نخست، آلایش مامگمایی اولیه با منابع گوشه‌ای و دربارۀ خاستگاه دوم، آلایش با منابع پوسته‌ای در نظر گرفته شده است. با توجه به آنومالی مثبت LILE در لامپروفیر منور و موقعیت چینه‌ای و توزیع خطی توالی دربرگیرنده، احتمالاً رویدادهای زیر را بتوان برای پیدایش لامپروفیر اسپیساریتی منور در نظر گرفت. فعالیت گسل‌های راستالفرز راستگرد با روند شمال‌باختری-جنوب‌باختری تا خاوری-باختری در شمال‌باختری ایران بهمراه باربرداری زمین ساختی ناشی از فرسایش مناطق بالا‌آمدۀ و ضخیم‌شده در پلیوسن تا کواترنری حوضه‌های تراکشنی را در طول گسل‌های یادشده پدید آورده است. این پدیده با کاهش فشار در دمای ثابت گوشه‌ای سنگ‌کره‌ای متاسوماتیزه را تحریک و آن را دچار ذوب‌بخشی با نرخ کم کرده است و مامگمایی بازالتی آلکالن Allen et al., 2004; Allen and Allen et al., 2004; Armstrong, 2008 پدید آمدۀ است (Armstrong, 2008). مامگمایی بازالتی یادشده هنگام بالا‌آمدن و جایگیری در آشیانه مامگمایی کمزرفای پوسته‌ای،

با توجه به بررسی‌های سنگ‌نگاری، کانی‌شناسی و زمین‌شیمیایی، مامگمایی با ترکیب M7 (برپایه الگوهای پیشنهادی راک Rock, 1991) برای لامپروفیرهای کالک‌آلکالن منابع مامگمایی M6 و M7 پیشنهاد شده است که در اولی آلایش مامگمایی اولیه با منابع گوشه‌ای و در دومی آلایش با منابع پوسته‌ای در نظر گرفته شده است (Rock, 1991) به عنوان مامگمایی مادر لامپروفیرهای قلیایی کلسیمی در نظر گرفته می‌شود که در واقع بازتابی از آلایش گسترده مامگمایی اولیه با مواد پوسته‌ای به شمار می‌رود.

بررسی ژئودینامیک منطقه منور: دایک لامپروفیری منور درون توالی آتشفشاری با ظاهر معکوس (ترم‌های حد واسط و اسیدی تر در قاعده و بازالت آلکالن در رأس مجموعه) تزریق شده است؛ به گونه‌ای که توالی آذرآواری و گدازه‌ای قاعده را قطع کرده است؛ اما بازالت‌های آلکالن رأسی روی این مجموعه جاری شده‌اند. عامل و همکاران (Amel et al., 2003) این مجموعه را یک توالی معکوس دانسته‌اند که محصول جدایش بلورین یک مامگمایی بازالتی در آشیانه واحد بوده است و همه سنگ‌ها نزدیکی ژنتیکی دارند.

بررسی‌های بعدی نشان دادند توالی قاعده‌ای بیشتر ترکیب آداسکیتی دارد (Fazeli Hagh et al., 2017) و با بازالت آلکالن رأسی قابل مقایسه نیستند. لامپروفیر بررسی شده منور ترکیب اسپیساریتی و سرشت مامگمایی کالک‌آلکالن دارد و مامگمایی مادر آن از ذوب‌بخشی با نرخ اندک ذوب‌بخشی منبع متاسوماتیزه گارتنت لرزولیتی در محیط کمان مامگمایی پدید آمده است. مهم‌ترین رخداد زمین‌شناسی مزوزوییک-سنوزوییک ایران به تحول اقیانوس نشووتیس و همگرایی صفحه عربی و ایران مرکزی مربوط است. پژوهشگران سن‌های مختلفی برای برخورد صفحه عربی و ایران مرکزی پیشنهاد کرده‌اند که در مجموع شامل کرتاسۀ پسین-پالئوسن (Moayyed, 2002; Mohajjal et al., 2003 Ghasemi and Talbot, 2006; Verdel et al., 2006; Sengor, 2008; Agard et al., 2008

لامپروفیرهای کالک‌آلکالن- اسپسارتیت رده‌بندی می‌شوند. بافت اصلی دایک اسپسارتیتی منور میکرولیتیک پوروفیری است و کانی‌های اصلی سازنده آن درشت‌بلورهای شکل‌دار آمفیبول، پیروکسن و بیوتیت هستند که در زمینه‌ای ساخته شده از میکرولیت‌های پلاژیوکلاز و الکالی‌فلدسپار، شیشه، زیرکن، آپاتیت و اسفن جای می‌گیرند. این سنگ‌ها در گستره آندزیت، تراکی‌بازالت و بازالت جای می‌گیرند. در نمودار عنکبوتی، آنومالی مثبت و مشخص عنصرهایی مانند La, Rb و U دیده می‌شود. آنومالی منفی Nb و Ti در دایک‌ها، احتمالاً نشان‌دهنده فرایند آلایش با مواد پوسته‌ای در پیدایش آنهاست. آنومالی منفی Nb (در شماری از نمونه‌ها) شاخص سنگ‌های قاره‌ای است و چه‌بسا نشان‌دهنده مشارکت پوسته در فرایندهای ماقمایی باشد. با توجه به مقدار REE در لامپروفیرهای منطقه و مقایسه آنها با دسته مواد منحنی‌های مذاب اسپینل و گارنت‌لرزولیت، خاستگاه ماقمایی مادر اسپسارتیت‌های منور از نوع گارنت‌لرزولیت و با نرخ ذوب‌بخشی ۵ تا ۱۵ درصد بوده است. همچنین، محیط زمین‌ساختی پیدایش لامپروفیرهای منور، کمان پسابرخوردی حاشیه‌فعال قاره‌ای بوده است.

مواد پوسته‌ای را ذوب کرده و ماقمای اسیدی و سپس آمیختگی ماقمای اسیدی با بخشی از ماقمای بازیک را به‌دنبال داشته و ماقمای هیبرید با ترکیب آندزیتی تا آندزیت بازالتی پدید آورده است. آغاز فوران‌ها از طریق سیستم گسلی با فوران‌های حد واسط و انفجراری با حجم چشمگیری از مواد آذرآواری بوده است که سپس دایک‌های اسپسارتیتی حاصل از واکنش ماقمای بازالتی و مواد پوسته‌ای (ماقمای M7) از آشیانه ماقمایی کم ژرف (به علت فشار تبلور کلینوپیروکسن درون این دایک‌ها که ۲ تا ۶ کیلوبار و نزدیک به اعماق ۷ تا ۲۱ کیلومتر تعیین شده است) به درون توالی قاعده‌ای تزریق شده‌اند و در نهایت ماقمای بازالتی آلکالن بجامانده فوران کرده و در رأس مجموعه قرار گرفته است.

برداشت

دایک لامپروفیری بررسی شده در این پژوهش با سن پلیوکواترنری در شمال خاوری روستای منور (شمال باختری استان آذربایجان شرقی) رخنمون دارد. برپایه بررسی‌های سنگنگاری و زمین‌شیمیایی، لامپروفیرهای یادشده در گروه

References

- Agard, P., Omrani, J., Jolivet, L., Whitechurch, H., and Monié, P. (2008) Zagros geodynamics, from subduction to collision: the fate of the Neotethys over the last 100 Myrs. The 26th Symposium on Geosciences, Geological Society of Iran, Tehran.
- Agard, P., Omrani, J., Jolivet, L., Whitechurch, H., Vrielynck, B., Spakman, W., Monie, P., Meyer, B., and Wortel, R. (2011) Zagros orogeny: a subduction-dominated process. Geological Magazine, 148, 692–725.
- Aghazadeh, M., and Badrzadeh, Z. (2015) Mineralogy and petrogenesis of alkaline and calcalkaline lamprophyres in northwestern Iran: Implication for mantle heterogeneity. International earth science colloquium on the Aegean region, IESCA, Izmir, Turkey.
- Akbarzadeh Laleh, M., Amel, N., Moayyed, M., and Jahangiri, A. (2016) Mineral chemistry and petrology of lamprophyric dyke in Guyposhki Mountain (northwest Maragheh- East Azarbaijan). Petrological Journal, 6(24), 130- 115 (in Persian with English Abstract).
- Allen, M.B., and Armstrong, H.A. (2008) Arabia- Eurasia collision and the forcing of mid-Cenozoic global cooling. Palaeogeography, Palaeoclimatology, Palaeoecology, 265, 52–58.
- Allen, M.B., Jackson, J., and Walker, R. (2004) Late Cenozoic reorganization of the Arabia- Eurasia collision and the comparison of short-term and long-term deformation rates. Tectonics, 23(2), TC2008.
- Altherr, R., Holl, A., Hegner, E., Langer, C., and Kreuzer, H. (2000) High-potassium, calc-alkaline I- type plutonism in the European Variscides, northern Vosges (France) and northern Schwarzwald (Germany). Lithos, 50, 51- 73.

- Amel, N. (1994) Petrology study of volcanic rocks in Munvar region with special focus on petrogenesis of volcanic strip along Tabriz fault. M.Sc. thesis, University of Tabriz, Tabriz, Iran (in Persian).
- Amel, N. (2007) Petrogenesis and petrology of Plio-Quaternary magmatic rocks of Azerbaijan- Northwest Iran. Ph.D. thesis, University of Tabriz, Tabriz, Iran (in Persian).
- Amel, N., Moayyed, M., and Moazzen, M. (2003) Mineralogy of Lamprophyry Massif Sharifabad- West Khoy. 10th Symposium of Crystallography and Mineralogy of Iran, University of Sistan and Baluchestan, 398- 401 (in Persian).
- Best, M.G. (2003) Igneous and metamorphic petrology. 2nd edition, Blackwell Publishing, Oxford.
- Bowen, N.L. (1928) The evolution of igneous rocks. Princeton university press, Princeton.
- Darvishzadeh, A. (1991) Geology of Iran. Amir Kabir Publication, Tehran (in Persian).
- Deer W.A., Howie, R.A., and Zussman, J. (1991) An Introduction to the rock-forming minerals. Longman, London.
- Downes, H., Balaganskayab, E., Bearda, A.R.L., and Demaiffe, D. (2005) Petrogenetic processes in the ultramafic, alkaline and carbonatitic magmatism in the Kola Alkaline Province: a review. *Lithos*, 85, 48- 75.
- Droop, G.T.R. (1987) A general equation for estimating Fe^{+3} concentrations in ferromagnesian silicates and oxides from microprobe analyses, using stoichiometric criteria. *Mineralogical Magazine*, 51, 431- 435.
- Edwards, C.M.H., Menzies, M.A., Thirlwall, M.F., Morrid, J.D., Leeman, W.P., and Harmon, R.S. (1994) The transition to potassic alkaline volcanism in island arcs, the Ringgit- Beser Complex, East Java. *Indonesia Journal of Petrology*, 35, 1557- 1595.
- Fazeli Hagh, M., Amel, N., and Jahangiri, A. (2017) Petrology and Geochemistry of volcanic rocks in Monavvar village. 34th Meeting and 2nd International Congress of Earth Sciences, Geological Survey of Iran, Tehran, Iran (in Persian).
- Foley, S.F., and Wheller, G.E. (1990) Parallels in the origin of the geochemical signature of island arc volcanic rocks and continental potassic igneous rocks, The role of titanites. *Chemical Geology*, 85, 1- 18.
- Foley, S.F., Venturelli, G., Green, D.H., and Toscani, L. (1987) The ultrapotassic rocks: characteristics, classification, and constraints for petrogenetic models. *Earth Science Direct*, 24, 81- 134.
- Gharehchahi, Z., Moayyed, M., Ahmadiyan, J., and Murata M. (2017) Mineral chemistry and petrogenesis of calc-alkaline lamprophyric dikes at Sungun and Haftcheshme mines (Alborz- Azarbajian zone, Iran). *Scientific Quarterly Journal of Geosciences*, 27(105), 47- 60 (in Persian).
- Ghasemi, A., and Talbot, C.J. (2006) A new tectonic scenario for the Sanandaj-Sirjan Zone (Iran). *Journal of Asian Earth Sciences*, 26, 683- 693.
- Gill, R. (2010) Igneous rocks and processes. A practical guide. 1st edition, Blackwell Publishing, Oxford.
- Hawthorne, F.C., Oberti, R., Harlow, G.E., Maresch, W.V., Martin, R.F., Schumacher, J.C., and Welch, M.D. (2012) Nomenclature of the amphibole supergroup. *American Mineralogist*, 97(11-12), 2031- 2048.
- Irvine, T.N., and Baragar, W.R.A. (1971) A guide to the chemical classification of the common volcanic rocks. *Canadian Journal of Earth Sciences*, 8, 523- 48.
- Jackson, D.D., Aki, K., Cornell, C.A., Dieterich, J.H., Henyey, T.L., Mahdyar, M., Schwartz, D., and Ward, S.N. (1995) Seismic hazards in southern California: Probable earthquakes, 1994-2024. *Bulletin of Seismological Society of America*, 85, 379- 439.
- Jalilian, M., and Afsharianzadeh, A.M. (1991) Explanatory text of Tabriz. Geological Quadrangle Map 1:100000, Geological Survey of Iran, Tehran (in Persian).
- Le Bas, M.J., Le Maitre, R.W., Streckeisen, A., and Zanettin, B. (1986) A chemical classification of volcanic rocks based on the total alkali-silica diagram. *Journal of Petrology*, 27, 745- 750.

- Le Maitre, R.W. (1976) Some problems of the projection of chemical data into mineralogical classifications. Contributions to Mineralogy and Petrology, 56, 181- 9.
- Le Maitre, R.W. (2002) Igneous rocks: a classification and glossary of terms. Recommendations of the IUGS subcommission on the Systematics of Igneous Rocks. 2nd edition. Cambridge University Press, Cambridge.
- Leake, B.E., Woolley, A.R., Birch, W.C., Gilbert, M.C., Grice, J.D., Hawthorne, F.C., Kato, A., Kisch, H.J., Krivovicher, V.G., Linthout, K., Laird, J., and Mandarino, J. (1997) Nomenclature of amphiboles: Report of the subcommittee on amphiboles of the International Mineralogical Association Commission on new mineral and mineral names. Mineralogical Magazine, 61, 295- 321.
- Leterrier, J., Maury, R.C., Thonon, P., Girard, D., and Marchal, M. (1982) Clinopyroxene composition as a method of identification of the magmatic affinities of paleo-volcanic series. Earth and Planetary Science Letters, 59, 139- 154.
- Luhr, J.F. (1997) Extensional tectonics and the diverse primitive volcanic rocks in the western Mexican volcanic belt. Canadian Mineralogist, 35, 473- 500.
- Maithani, P.B., Banerjee, R., and Gurjar, R. (2008) Geochemistry and petrogenesis of radioactive lamprophyre associated with Erinpura Granite around Isra, District Sirohi, Rajasthan. Exploration and Research for Atomic Minerals, 18, 161-178.
- Martin, H. (1999) Adakitic magmas, modern analogues of Archaean granitoids. Lithos, 46, 411- 429.
- McDonough, W.F. (1990) Constraints on the composition of the continental lithospheric mantle. Earth and Planetary Science Letters, 101, 1- 18.
- McQuarrie, N., Stock, J.M., Verdel, C., and Wernicke, B. (2003) Cenozoic evolution of Neotethys and implications for the causes of plate motions. Geophysical Research Letters, 30(20), 2036.
- Menzies, M.A., and Wass, S.Y. (1983) CO₂ and LREE- rich mantle below eastern Australia: a REE and isotopic study of alkaline magmas and apatite- rich mantle xenoliths from the southern highlands' province, Australia. Earth and Planetary Science Letters, 65, 287- 302.
- Moayyed, M. (2002) A New Approach to the Formation and Evolution of Neotethys and Its Relationship with Tertiary Magmatism in Urmia- Dokhtar and West Alborz- Azerbaijan. 6th Symposium of Geological Society of Iran. Shahid Bahonar University, Geological Society of Iran Kerman, 374- 378 (in Persian).
- Moayyed, M., Amel, N. (2002) Petrography and petrogenesis of Sharifabad lamprophy (West Khoy). 6th Symposium of Geological Society of Iran. Shahid Bahonar University, Geological Society of Iran Kerman, 483- 486 (in Persian).
- Moayyed, M., Moazzen, M., Calagari, A.A., Jahangiri, A., and Modjarrad, M. (2008). Geochemistry and petrogenesis of lamprophyric dikes and associated rocks from Eslamy Peninsula, NW Iran; Implication for deep mantle metasomatism. Chemie der Erde Geochemistry, 68(2), 141- 154.
- Moazzen, M., Moayyed, M., and Hosseinzadeh, G. (2003) Petrography and Petrology of Qakhlar Lamprophyry Dyke (West Marand). 7th Symposium of Geological Society of Iran. University of Isfahan, 566- 576 (in Persian).
- Mohajel, M., Fergusson, C.L., and Sahandi, M.R. (2003) Cretaceous-Tertiary convergence and continental collision, Sanandaj- Sirjan zone, western Iran. Journal of Asian Earth Sciences, 21, 397- 412.
- Morimoto, N. (1988) The nomenclature of pyroxenes. Mineralogical Magazine, 52, 535-550.
- Muller, D., and Groves, D.I. (1993) Direct and indirect associations between potassic igneous rocks, shoshonites and gold-copper deposits. Ore Geology Reviews, 8, 383- 406.
- Nabavi, M.H. (1976) An introduction to the geology of Iran. Geological Survey of Iran, Tehran, Iran (in Persian).
- Neave, D.A., and Putirka, K.D. (2017) A new clinopyroxene- liquid barometer, and implications for

- magma storage pressures under Icelandic rift zones. *American Mineralogist*, 102, 777- 794.
- Nisbet, E.G., and Pearce, J.A. (1977) Clinopyroxene composition in mafic lavas from different tectonic settings. *Contributions to Mineralogy and Petrology*, 63, 149- 160.
- Prelevic, D., Akal, C., Foley, S.F., Romer, R.L., Stracke, A., and Van Den Bogaard, P. (2012) Ultrapotassic mafic rocks as geochemical proxies for post-collisional dynamics of orogenic lithospheric Mantle: the Case of Southwestern Anatolia, Turkey. *Journal of Petrology*, 53(5), 1019- 1055.
- Ravankhah, A., Moayyed, M., Hosseinzadeh, M.R., Azimzadeh, A.M., Hassanzadeh, J., and Amel N. (2015) Petrographical, mineral chemical and geochemical studies of the lamprophyric bodies and alkaline gabbro from the Houway area (NE Hourand-NW Iran). *Iranian Journal of Crystallography and Mineralogy*, 23(3), 555- 568 (in Persian).
- Rittman, A. (1973) Stable mineral assemblages of igneous rocks, a method of calculation. Springer-Verlag, Berlin.
- Rock, N.M.S. (1991) Lamprophyres. Blackie, Glasgow.
- Rogers, N.W., James, D., Kelley, S.P., and Muller, M. (1998) The generation of potassic lavas from the eastern Virunga province, Rwanda. *Journal Petrology*, 39, 1223- 1247.
- Rollinson, H.R. (1993) Using geochemical data: evaluation, presentation, interpretation. Routledge, London.
- Saunders, A.D., Tarnay, J., and Weaver, S.D. (1980) Transverse geochemical variations across the Antarctic peninsula, implications for the genesis of calc-alkaline magmas. *Earth and Planetary Science Letters*, 6, 344- 360.
- Schweitzer, E.L., Papike, J.J., and Bence, E. (1979) Statistical analysis of clinopyroxenes from deep-sea basalts. *American Mineralogist* 64: 501- 513.
- Sengor A.M.C., and Kidd, W.S.F. (1979) Post-collisional tectonics of the Turkish- Iranian plateau and a comparison with Tibet. *Tectonophysics*, 55, 361- 376.
- Shirdel, N., Moayyed, M., and Jahangiri, A. (2010) Mineralogy of Olivine Gabbro Alkaline Massif Northeast of Horand (East Azerbaijan Province). 18th Symposium of Crystallography and Mineralogy of Iran. University of Tabriz, Tabriz, Iran (in Persian).
- Soesoo, A. (1997) A multivariate statistical analysis of clinopyroxene composition: empirical coordinates for the crystallization PT-estimations. *Geological Society of Sweden (Geologiska Foreningen)*, 119, 55- 60.
- Sun, S.S., and McDonough, W.F. (1989) Chemical and isotopic systematics of oceanic basalts, implications for mantle compositions and processes. In: Magmatism in the ocean basins (Eds. Saunders, A.D., and Norry, M.J.) 313-345. Geological Society of London.
- Verdel, C., Wernicke, B., and Hassanzadeh, J. (2008) Origin of a Voluminous Pulse of Eocene Arc Magmatism in Iran. The 26th Symposium on Geosciences. Tehran, Geological Society of Iran. American Geophysical Union meetings (AGU).
- Vigouroux, N., Wallace, P.J., and Kent, A.J. (2008) Volatiles in high- K magmas from the western Trans-Mexican Volcanic Belt: evidence for fluid fluxing and extreme enrichment of the mantle wedge by subduction processes. *Journal of Petrology*, 49(9), 1589- 1618.
- Whitney D.L., and Evans B.W. (2010) Abbreviations for names of rock-forming minerals. *American Mineralogist*, 95, 185- 187.
- Winchester, J.A., and Floyd, P.A. (1997) Geochemical discrimination of different magma series and their differentiation products using immobile elements. *Chemical Geology*, 20, 325- 342.